

# Universidad Nacional Autonoma de Mexico Facultad de Ciencias

# "MEDICION DE EROSION IONICA DE PELICULAS DELGADAS CON PIXE"

TESIS

Que para obtener el grado de:

FISICO

PRESENTA

FRANCISCO JOSE RUIZ SANCHEZ







# UNAM – Dirección General de Bibliotecas Tesis Digitales Restricciones de uso

# DERECHOS RESERVADOS © PROHIBIDA SU REPRODUCCIÓN TOTAL O PARCIAL

Todo el material contenido en esta tesis está protegido por la Ley Federal del Derecho de Autor (LFDA) de los Estados Unidos Mexicanos (México).

El uso de imágenes, fragmentos de videos, y demás material que sea objeto de protección de los derechos de autor, será exclusivamente para fines educativos e informativos y deberá citar la fuente donde la obtuvo mencionando el autor o autores. Cualquier uso distinto como el lucro, reproducción, edición o modificación, será perseguido y sancionado por el respectivo titular de los Derechos de Autor.

# Indice General

Introducción	and the second of the second of the second	
Capítulo Primero Erosión iónica		
1.1 Historia	4	
1.2 Rendimiento de erosión	<b>6</b>	
1.3 Propiedades sobre el rend	imiento de erosión 7	
1.4 Modelos teóricos de la ero	osión iónica 10	i
1.5 poder de Frenamiento	13	
1.5.1 Aproximación de imp	oulso 14	
1.6 modelo de thompson	17	
1.7 modelo de Sigmund	19	١.
1.8 Simulador URUM	21	
•		
Capítulo Segundo		
Producción de flaces de fone		
2.1 Generalidades	22	:
2.2 Producción de lones	23	1
2.2.1 fonización		
2.2.2a Fuentes de lones		
2.2.2b Plasma como Fuente	e de lones 24	ŀ
2.2.3 Tipos de Fuentes de	Iones 25	
D Arco en Electrodos M		
2) Superficie de Ionizac		
•	26	
3) Impácto Electrónico		
42 ionización Termica 53 Radio-Frecuencia	27	
	28	
6) Plasmatron y Duo-plas	smatrón 29	,
7) fonización de Campo		
8) Fotoionización	30	I
9) Otros Tipos		
2.2.4 Fuentes de Impácto E	lectrónico 31	
2.3 Extracción de Iones		
2.3.1 Cañón de Iones	33	
2.3.2 Efecto de Espacio-Car		;
2.3.3 Efecto de Lente de lo	os Electrodos de	
Extracción	35	ï
2.3.4 Electrodos do Pierce	36	
2.3.5 Lentes de Aceleración	n-Desaceleración 37	
2.4 Conducción de lones	38	
2.4.1 Separación de Masas	30	
3.4.1a Sector Magnetico	40	
2.4.1b Separador de Camp		
4.4.2 Acelerador Electrostá	itico 41	
2.4.3 "Stigmator"	43	
— <del></del>	4.0	
2.5 Comentario Final del Capit	ulo 43	

	$\mathcal{A}_{i,j} = \mathcal{A}_{i,j} = \{ (i,j) \in \mathcal{A}_{i,j} \mid \forall i \in \mathcal{A}_{i,j} \}$		
Capitulo Tercero			
PIXE		41.	4
1176		• 1.	1
that the desired in the contract			
3.1 Principlos de PIXE		. 4	4
3.2 Analisis Cualitativo			6
3.3 Analisis Cuantitativo		4:	9
3.3.1 Sección Eficaz de Ioni	ización	4	<b>U</b>
3.3.2 Absorción de Radiació		5.	
3.3.3 Total de Fotones Emit		5:	
		J.	4
3.4 Propiedades del Análisis P	IAE		
Capítulo Cuarto			
Desarrollo Experimental			
4.1 Dispositivo Experimental			
4.1.1 Acelerador Electrostát	ico de Panticulas		
4.1.2 Analizador de Particula			
	1S		
4.1.3 Linea de Conducción			The state of the same of
4.1.4 Cámara de Dispersión			
4.1.5 Sistema de Detección			
4.2 Cañón de Iones			
4.2.1 Caracteristicas			
4.2.2 Funcionamiento			
	-1.5		
4.2.3 Montaje y Caracteriza	cion		
4.3 Evaporación de Muestras			To the second and the con-
4.4 Procedimiento Experimenta	1		
4.4.1 Bombardeo de Muestras	5		
4.4.2 Analisis de Graficas			
Namidada Audada			
Capitulo Quinto			
Resultados y Conclusiones			
5.1 Análisis de Resultados			
5.1.1 Desarrollo experimenta	l garage g	Control of the second of	a di la kasa da ay ya pada i saka sa
5.1.2 Cuantificación del Rend	limiento de		
Erosión con PIXE			
5.2 Análisis de Resultados			
	nana at Eumaniman	at o	
3.2.1 Predictiones teóricas			
5.2.2 Datos Experimentales	keportados en la	L.Communica	
5.2.3 Rendimientos de Erosia	on Optenidos en e	n Experimenco	
5.3 Conclusiones			
Apéndice 1			
Modelos Teóricos de Tho	moran u Siam	word.	
Andretice 9	2.		and the second second
Della Landina America	ms - 1.	1 1 1 1 -	25% 2.4%
Apendice 2 Delicon Acociad	ns of im Change	adian de Te	er rug nate
vbenarce 2			
Programa para calcular los	cosiontes C	de producció	X-course ub M
Apondice 4		po	
Datos Experienciales			
Aparelica S			
Canan de Locar			
Amenda of Santa Company of the Compa	2		

## UNTRODUCCION

El estudio de materiales es una de las ramas de la Fisica que ha cobrado gran importancia en los oltimos años. El interes en cu estudio esta relacionado totalmente a las aprincipienes que tienes los nuevos materiales obtenidos mediante tratamiem os frecos. Los cuales cambian sus propiedades originales convirtiendoso en materiales más versátiles.

Muchas veces. al tratar un material, se busca cambian sólamente sus propiedades superficiales, dejando las volumétricas inalteradas. Así, se puede obtener un material resistente a la corresión y a la fricción, y al mismo tiempo flexible y capaz de resistir grandes esquerzos mecánicos sin remperse o deformarse permanentements. Estas características són muy apreciadas y tienen. aplicación inmediata en ramas tan diversas como en medicina, con la fabricación de prótesis resistentes y durables, incapaces deproducir una reacción de rechazo por parte del organismo humano. con la construcción de plazas resistentes esfuerzos, que presentan poda fricción y que pueden ser usadas en medios en dende abundan substacias corresivas. El cambio de las continuo del material. Le dan caracteristicas polarización, de reflexión y de absorción, muy utiles en la Cabricación de espejos y lentes, para la construcción de láseres y de celdas solares.

El estudio de estos nuevos materiales se resdiza en el laboratorio, sometiendo pequeñas muestras del material de interes a diferentes tratamientos físicos en condiciones controladas, es decir, regulando las variables que pueden tener una influencia importante en la obtención del nuevo material.

do esalt eve y conocer propiedades Para cuantificar las técnicas de análisis CON necesario contar materiales. 05 información section as 14 buedan proporcionar sitemáticas. CUP composición y distribución de los elementos en la muestra.

Aprovechando el hecho de que algunos elementos responden de manera característica a diferentes estimulos físicos, se diseñaron formas de cuantificar esta respuesta y así obtener información sobre la estructura del material. Uno de estos estimulos físicos, que es muy utilizado, es la radiación, en cualquiera de sus

formas, ya sea de ondas electromagnéticas o de particulas cardadas. Per ejemplo, si un haz de particulas ionizadas incide sobre una superficte, buede producir en ésta, entre etios efectes la expulsión de particulas neutras o lonizadas del bianco (endsión iónica o seuttering); la enuzión de electrones sebundarios y de rotones, la reflexión de las particulas inclidentes, implantación de impurezas y reacciones quimicas en la superficie Cformación de o compuestos). Todos estos fenomenos octarren simultaneamente, sólo que la probabilidad de que ocurran dependefuertemente de las condiciones bajo las cuales radiación, es decir, de la masa, energia; angulo de incidencia del provectif, y masa, temperatura, estructura del blanco.

Este hecho did origen a las diferentes técnicas de arálisis.

las cuales so fundamentan en el tipo de radiación que registran. —

Number Por ejemplo, RBS (retrodispersión de Rutherford). analiza—

solamente los lones retrodispersados; APS (Espectroscopia de—

Electrones Auger) la conistán de electrones Auger; CIMS—

Maca de Comes Secundarios) los iones arrandados del
material, y PIXE (\*\*Praville\*\*En de Payor-X Inducides por Particulas)—

los rayos X producidos por la muestra. Ahora laton, a diferencia de RBS, AES y SEMS, PIXE no ha sino totalmente desarrollada y su resolución aún norbien definida. Es por esto que la intención de—

este trabajo os la de aportar resultados que ayuden a conecer las cualidades de esta.

Por etra parte, el feriómeno de erosión iónica o Sputterins ha sido muy estudiado debido a su importancia en el desarrollo techológico de mediados de siglo hasta nuestros dias, por lo que se cuenta en la actualidad con resultados, tanto teóricos como experimentales que lo describen y caracterizan de una menera confiable.

La posibilidad de contar con un cañon de tones, y una camara de dispersión diseñada especialmente para realizar análisis PINE, hizo pensar en la posibilidad de medir la erosión ionica en ura muestra por medio de PIXE, y comparar los resultados con los obtenidos por otros investigadores para valorar la confiabilidad y resolución de PIXE para medir espesores.

El estudio de los elementos que forman parto de un dispositivo experimental para manejar haces de Jones ez mecesario. ya quo la planeación del experimento debende en gran medida del equipo den el que se cuenta y de fo capacidad de éste para per modificado. Sesados en lo anterior se efectuo am revisión de for e propudades generales del equipo utilizado en lo optica de conce y del equipo den el que se odenta en el Laboratorio, para disofier en experimento con califonte en el Laboratorio, para disofier en experimento confidence en el Laboratorio.

En el presente trabajo el primer capitale esta delicade a la eresión iúnica, sus propiedades y características más como cantes, haciendo hincapió en la necesidad de un desarrolto teoridogico. — tanto en la producción de tones como en la obtención de vacios limpios y rapidos, para realizar especimentos confistles y reproducibles que puedan servir de base en la elaboración de teorias que describan los mecanismos que intervienen en el fenómeno.

A continuación se hace una breve revision de los elementos más usuales en la producción y conducción de haces de lones, lan importantes en el estudio de matriales.

Los principios básicos de la técnica de análisis PIKE son tercor capitulo, en donde expuestos en @l se observa importancia de contar con valores conflables de parámetros como la sección oficaz de ionización, el poder de frenamiendo y el coeficiente de absorción de radiación. La obtención de los cualus es complicado, tanto teoricamente como experimentalmente, por lo-4.12 accost under a ULAR formulas semiempiticas. a justice. aue polinomiales a datos experimentales o resultados, teóricos, que dis con dia resultan ser más confiables.

En el cuarto capítulo son descritos el equipo experimental utilizado, y el desarrollo del experimento. Esta información es importante para valorar los resultados experimentoles y las mejoras que se debon realizar en futuros experimentos para optimizar los resultados.

Por último se presentan los resultados y se discute la importancia que éstos tienen, su validez y su concordancia con los—datos obtenidos por medio de otras fuentes como son los publicados en la literatura, resultados obtenidos por desarrollos teóricos y los obtenidos por simulación en computadora. También se discute un poco sobre los posibles alcances de la técnica PINE y sobre las futuras aplicaciones del cañon de iones de argón.

La erosión iónica es un fenómeno conocido desde hace más de 125 años y siempre ha sido considerado como un efecto nocivo. asociado al desgaste que sufren las superficies expuestas a un bombardeo de particulas. El auge en su estudio comenzo con la construcción de reactores nucleares y naves espaciales, en los cuales se buscaba disminuir al máximo los efectos de la erosión causada por particulas producto de las reacciones nucleares o por aquéllas que golpean la superficie externa de un vehículo enmovimiento. Recientemente, con la industria de los semiconductores y el estudio de superficies, cambio el concepto que se tenra de la erosion ionica, considerandolo ahora como una herramienta tanto en la fabricación de micro-circuitos como en el estudio de peliculas delgadas. Gracias a esto el estudio de la ercsión iónica creció en interés, teniéndose ahora modelos teoricos que la describen y lapredicen de manera tal que concuerdan satisfactoriamente con los regultados experimentales.

En este capitulo se describen de una manera general las características y propiedades de la erosion ionica, sobre todo aquellas que son importantes para entender y justificar los resultados del experimento que se realizó.

## 1.1 HISTORIA

Como erosión iónica o sputtering se denomina al fenomeno de emisión de átomos de una superficie causado por el bombardeo de particulas, que pueden ser iones, átomos neutros, neutrones, electrones o moléculas

Desde 1852 existen reportes de los primeros intentos por cuantificar el daño producido por la erosión iónica, pero se veian limitados por la falta de una buena tecnología, tanto para alcanzar un buen vacío como para producir el tipo y la cantidad de iones necesarios para el experimento.

Grove [1], en 1852, realizó bómbardeo de superficies para tratar de evaluar la erosión iónica, pero debido a que uso presiones muy altas, del orden de 0.1 Torr, sus resultados no son significativos. Después de él, el experimento de Guntherschulze y Meyer [2] fue uno de los pocos que se realizaron con parametros reproducibles. Usaron una camara de descarga y para medir la erosión producida en el catodo lo hicieron atraves de lasdiferencias de peso. Penning y Moubis [3], también con una camara de descargas, obtuvieron datos para proyectiles como Ar, Net. Mat. -H, en un blanco de plata a una presión de 10<sup>-3</sup>Torr, y una energía de 500eV, siendo estos 2.3, 1.8, 1.4 y 6 átomos expulsados por ion incidente, respectivamente. En 1961 Weijsend- feld y Hoogendoorn 🗕 [4] obtuvieron para argón en cobre un rendimiento de erosión de 3.2. Fetz (51, descubrió la dependencia angular del rendimiento de erosión al observar que catodos con radio pequeño se desgastaban más que cátodos con un radio mayor. Esta dependencia fue expresada por Seeliger y Sommermeyer [6] como una función del coseno del àngulo de incidencia.

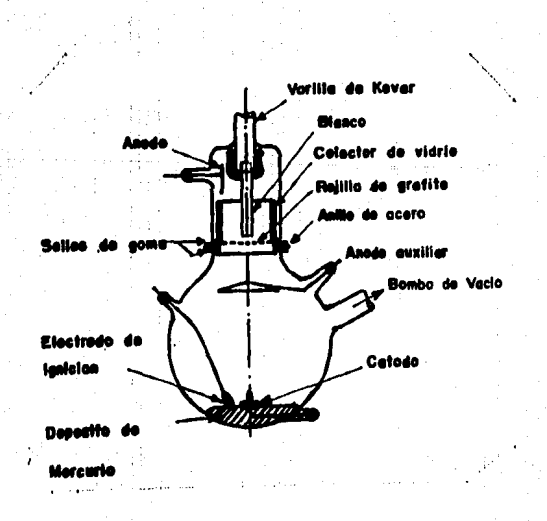


figura 1.1 Cámara de descarga con depósito de mercurio

Smith et al. [7] descubrio que la formación de compuestos. principalmente carburos y óxidos, en la superficie del blanco lo protegia de la erosion. Esto fue un logro importante y aplicación inmediata, ya que con esto se pudieron proteger el casco de las naves espaciales y los reactores nucleares de los efectos de la erosión.

Basados en estos primeros experimentos, se llegó conclusión de que para estudiar el fenomeno de erosión iónica es cumplan las siguientes para que Se condiciones considerar que el experimentos sea reproducible:

1) Tener presiones menores a 10<sup>-9</sup> Torr de forma tal que el camino libre medio de los iones sea comparable a las dimensiones del Lubo de descarga.

2) Una alta densidad de corriente y una presión de fondo baja. es decir combinar las magnitudes de la densidad de corriente (j) y de la presión CP60 de forma tal que cumplan con j/P610" C[ |]=uA/cm y [Pb]=Torr).

3) Determinación del ángulo de incidencia del haz sobre la superficie.

4) Pequeña dispersión en la energia del haz incidente.

5) Tener un haz de iones con carga unitaria.

A partir de 1950 se tenían dos formas para estudiar la erosión ionica: sistemas de descarga con depósito de mercurio y haces de iones. Ambas poseian ventajas y desventajas unas con respecto a otras, relacionadas con la intensidad y estabilidad de la corriente del haz obtenible, y la presión minima alcanzable. pero que gracias a las consideraciones anteriores, estas fueron valoradas, lo que ha hecho que los datos recientes experimentales sean más congruentes unos con otros y esto a su vez ha ayudado a los calculos teóricos, ya que cuentan con una fuente confiable de datos.

# 1.2 RENDIMIENTO DE EROSION ESPUTTERING YIELDI

Una manera de evaluar la erosión iónica es por medio de lo que se ha nombrado rendimiento de erosión (Sputtering Yield), que se define como el numero de atomos removidos de la superficie de un solido por particula incidente<sup>1</sup>.

$$Y = \frac{\text{átomos emitidos}}{\text{átomos incidentes}}$$
 (1.1)

Esta expresión solo tiene sentido si el número de atomos expulsados es proporcional al número de particulas incidentes, que es lo que ocurre normalmente a corrientes bajas, pero tan pronto como una concentración considerable de átomos implantados refuerza a la superficie, es necesario definir rendimientos de erosion parciales para los diferentes componentes del blanco. Tal definición también es necesaria para flujos pequeños cuando se erosiona una aleación.

Otra excepción a este comportamiento son las moléculas queinciden en el blanco con energías mayores a 10 KeV, las cuales producen cascadas transpuestas [8] que hacen que el rendimiento de erosión dependa de la intensidad del haz incidente, fenómeno que será explicado más adelante.

## 1.3 PROPIEDADES SOBRE EL RENDIMIENTO DE EROSION

El rendimiento de erosión depende de varios factores relacionados tanto al proyectil como al blanco. De estos los mas importantes son: energía, número atómico, masa y ángulo de incidencia del proyectil, masa , número atómico, cristalinidad, orientación del cristal y energía de ligadura del blanco.

En una curva típica del rendimiento de erosión se puede observar que a bajas energías el rendimiento crece rápidamente con lá energía (zona umbral 20-40eV); después presenta un crecimiento lineal para energías de cientos de eV hasta llegar a un máximo formando una meseta (100-10keV), que finalmente disminuye.

La determinación de la energía umbral depende del estado del material y de la sensibilidad del detector que se utilice. Originalmente, Henschke [9] definio dos energías umbral; Full-Plane, que es la energía para arrancar un átomo del blanco, y Algunos autores, principalmente los primeros en tratar este tema, denotan al coeficiente de erosion como S.

minimum bond (minima ligadura), que corresponde a la energia hecesaria para desalojar un átomo que se encuentra aislado en la superfície. Ambas pueden ser diferenciadas fácilmente, sabiendo que la primera no depende del tiempo de bombardeo, lo cual ocurre con la segunda, ya que una vez liberados todos los atomos aislados de la superfície el rendimiento de erosión se vuelve cero.

.

.

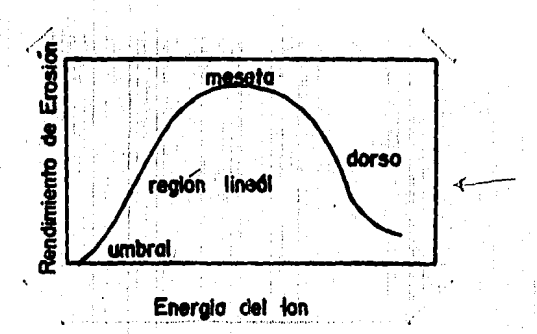


figura 1.2 Forma típica del rendimiento de erosian al cambiar la energia.

La meseta es una región donde la transferencia de energía es máxima y que va disminuyendo al aumentar la energía del ion, — Porque al penetrar más en el blanco, se aleja de la superficie disminuyendo su probabilidad de colisión cerca de esta.

El valor típico del rendimiento de erosión para iones pesados [Y], está entre uno y cinco (1(Y(5); pero existen valores para ciertas combinaciones de blanco-proyectil que van de seis a cien (66(Y(100)).

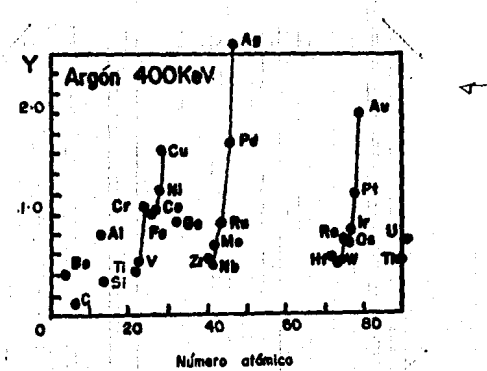
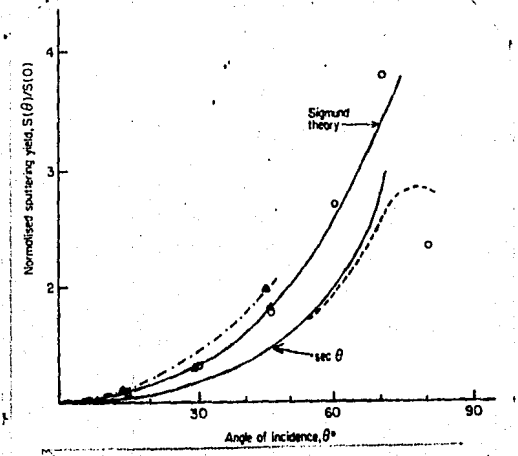


Figura 1.9 Rendimiento de erosión de varios elementos bombardeados con Argón de 400 KeV.

A baja energía se ha encontrado que el rendimiento de erosion está relacionado con la distribución electronica en la capa d del material del blanco, aumentando según la capa electronica d se va llenando. Esto es debido a que el alcance de las particulas en el blanco es mayor cuando éste esta formado por átomos con estructura electrónica abierta. Se ha encontrado que los elementos con mayor coeficiente de erosión son cobre, plata, oro y dases nobles [12].

El rendimiento de enosión aumenta tambien al aumentar la masa de la particula incidente. Para iones muy ligeros, como protones, el rendimiento de erosión Y, es muy pequeño, del orden de 10<sup>-3</sup>, por lo que este proceso es despreciable cuando se estan realizando análisis como RBS o PIXE, y por tanto el daño a la muestra es mínimo.



1.4 Dependencia del rendimiento de erosion con la curva de sece, con Se comparan la producción de Sigmund y al. (1965)(a): datos experimentales de los trabajos de Cheney æt: Molchanov al. (1966)(^); Golombie(1964)(^); et al. (1960)(-.), para bombardeado ccbre al. (1961)(-); Rol argon.

En solidos amorfos o policristalinos el rendimiento de erosión crece al aumentar el ángulo de incidencia hasta alcanzar un máximo entre los 70 y los 80 grados con respecto a la normal a la superficie. Según Almen y Bruce [10], el rendimiento de erosión es proporcional a las funciones  $\sec\theta$ ,  $\sec^{9/2}\theta$  y  $\sec^{2}\theta$ , para energías del ion incidente de 10-20, 20-60 y 60-110 KeV respectivamente y esto fue corroborado por Molchanev y Tel'kovskii

1111. La posición del máximo depende de la superficie de la muestra, por ejemplo, para una superficie de cobre, si fue pulida mecanicamente, el máximo se encuentra a 80° y si el pulido fue electrolítico, en 75°.

La estructura del blanco es otro parametro importante, ya que en monocristales existen direcciones para las cuales el rendimiento es mayor que para otras, en particular las direcciones de máxima expulsión son las llamadas arreglo de empaquetamiento compacto.

La información publicada hasta 1983 acerca de la dependencia de la erosión iónica con el incremento de la temperatura es contradictoria. Algunos reportan que la erosión crece al aumentar la temperatura, pero algunos han encontrado un comportamiento totalmente diferente [11,12]. Para explicar lo anterior, se ha sugerido que la temperatura de templado del blanco es un punto crítico a partir del cual el rendimiento de erosión disminuye al aumentar la temperatura. Por lo contrario, si la temperatura es menor al punto de templado, la erosión iónica aumenta al aumentar la temperatura.

En particular, para cobre bombardeado por argón, el rendimiento de erosión es constante al variar la temperatura desde 20 a 600° C (10,111. Esto es importante ya que es en el intervalo de temperaturas en el cual se lleva a cabo la mayor parte de los experimentos.

Por ultimo, hay que decir que la formación de compuestos en la superficie del blanco, como óxidos y carburos principalmente, disminuyen el rendimiento de erosión, por lo que es importante tomar en cuenta este proceso al valorar los resultados de un experimento realizado con una determinada combinación de proyectil-blanco.

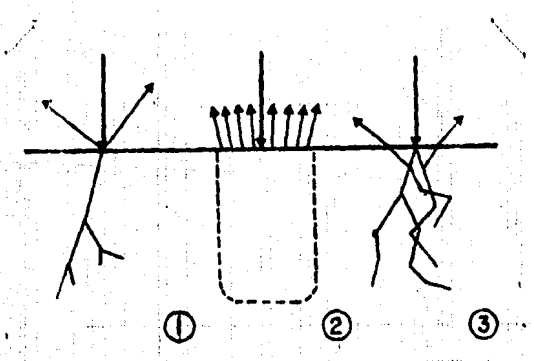
# 1. 4 MODELOS TEORICOS DE LA EROSION IONICA

En un principio existía el problema de cómo explicar latransferencia de energia del ion incidente a los atomos de la superficie, de forma tal que pudieran ser expulsados de esta. No era fácil comprender como ocurría esta transferencia en un volumen tan pequeño en la superficie del blanco, lo que propicio que surgleran varias teorías, que van desde la "teoría de la mancha caliente" de Von Hippel [13], basada en la evaporación del blanco por el calor generado por el haz incidente, hasta imaginar el proceso como una serie de colisiones en cascada, lo que fue sugerido al observar la distribución angular de las particulas expulsadas por un monocristal, que solamente podía ser explicado mediante la transferencia de momentos. Existió también el modelo de picos térmicos (thermal spikes), que fue desechado en los primeros años, y que últimamente fue rescatado para explicar ciertos procesos en los que la alta densidad de energia de las colisiones en cascada hacen valido este modelo.

"Una colision en cascada consiste en un conjunto de colisiones causadas por el proyectil, que produce una serie de retrocesos en los átomos de la superficie, que a su vez, producen otros retrocesos y así sucesivamente hasta que algunos de estos atomos se acercan tanto a la superficie con una energía superior a la energía de ligadura que logran escapar y ser expulsados.

Hoy en dia se considera que la erosión iónica, dependiendo en la forma en que se produce, puede pertenecer a cualquiera de los siguientes tres procesos:

- 1)Eventos de colisión simple o doble colisión.
- 2)Colisiones en cascada lineales.
- 3) Colisiones en cascada no-lineales.



Ngura 1.5-1) Erosión producida por la interacción entre el ión

2) Evaporación de un pico térmico.

3) Erosión producida por una colisión en cascada.

El primer proceso se refiere al desalojo de atomos que no se encuentran totalmente integrados a la superficie, y ocurre principalmente en la zona de umbral, en donde la energia para crear una colision en cascada no es suficiente. Esta region es la que Henschke [9] definio como región de minima ligadura Cminimum-bondo.

La region de colisiones en cascada lineales, es aquélla en la que la interacción con las partículas del blanco yan las del proyectil pueden tratarse como colisiones binarias, las cuales son descritas por medio de las ecuaciones de transporte. Estas ecuaciones describen la distribución angular y energetica de las partículas en el blanco, relacionando parámetros como el poder de frenamiento, densidad y energia de ligadura del blanco.

Cuando la densidad de las colisiones es muy alta, y el modelo de interacción binaria pierde su validez, entonces se utiliza el modelo de colisiones no-lineales. Esta region predomina cuando la densidad de energía dentro de la cascada es alta, en las cuales el poder de frenamiento nuclear es maximo, y también cuando se utilizan blancos pesados en los cuales los intervalos de retroceso son muy cortos.

Las colisiones en cascada no-lineales, es un fenómeno que cobra importancia en la descripción de la erosión iónica cuando ocurre a una energia superior a la energía umbral. Dichas energias dependen de la combinación de blanco-proyectil que se utilice.

La aplicación de las regiones para las cuales es valida la teoría de cascadas lineales es ilustrada en la figura por dos cortes planos del espacio  $(E, Z_1, Z_2)$ .

Para tener una idea de las dimensiones del proceso, hay que méncionar que una cascada típica tiene un radio de 100 Å y que si cada evento de colisión dura 10<sup>-14</sup> segundos, entonces la transferencia de energia a lo largo de la cascada tiene una duración del orden de 10<sup>-14</sup> segundos.

La densidad de energía en una cascada no lineal es alta y tiene un tiempo de duración superior a una cascada lineal. Esto hace que un numero mayor de átomos que rodean a la superficie sean expulsados.

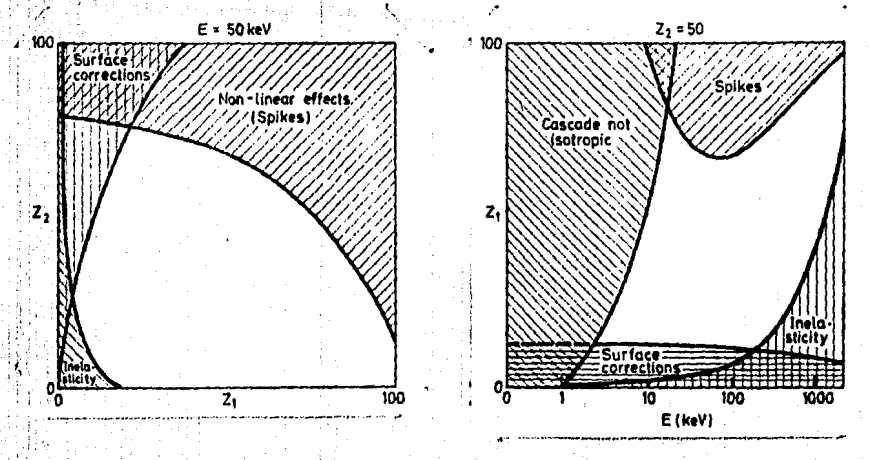


figura 1.0 La región de aplicación de la teorio analítica lineol de la erosión iónica es ilustrada en dos cortes planos del espocio (E),21,22).

Ahora bien, el número total de desplazamientos depende del estado de excitación de la región bombardeada, por eso es que si se producen cascadas superpuestas, el rendimiento de erosión aumenta, como ocurre con las moléculas cuando son usadas como proyectil. Esto explica por que las moleculas no se ajustan—completamente a la definición del rendimiento de erosión.

## 1.5 PODER DE FRENAMIENTO

Antes de empezar a tratar con los modelos de erosion ionica es necesario mencionar un poco sobre el poder de frenamiento, que es un parametro importante en la descripción teórica de la erosión iónica que describe la transferencia de energía del proyectil a la superficie.

Al penetrar cualquier ion en un sólido, pierde energia al irse desplazando a través de este. La perdida de energia depende principalmente de la energia del ion, siendo menor a energias altas, donde la interacción con el sólido es principalmente electrónica.

La sección eficaz de frenamiento Sn esta definido como:

$$\frac{dE}{dx} = ShCED*N$$
 . (1.2)

Donde E es la energia del ion. M la distancia recorrida en el sólido y N es la densidad atomica del blanco.

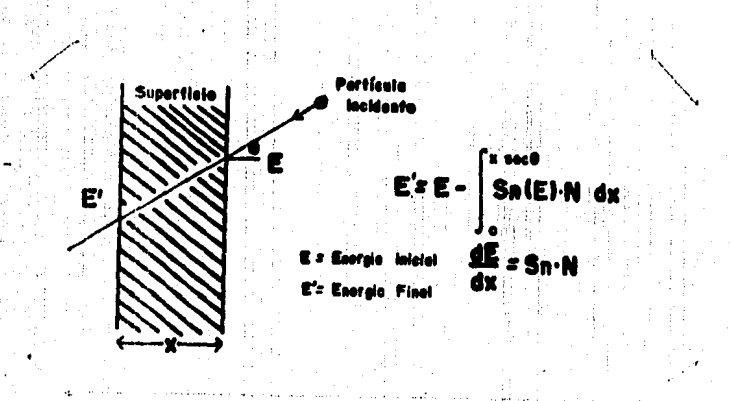


figura 1.7 Esquema del poder de frenamiento de una particula en una superficie.

Existen aproximaciones, tablas y fórmulas semiempíricas para hallar los valores de Sn [15,16,17,43], de las cuales se describira brevemente la aproximación de impulso, que es un desarrollo que ilustra la importancia de los parametros que intervienen en el proceso.

## 1.5.1 Aproximación de Impulso

La aproximación de impulso es una aproximación hecha utilizando dos aproximaciones importantes relacionadas con el potencial de interacción entre el proyectil y el núcleo, y el cambio en la velocidad del proyectil dentro de la sólido, las cuales limitan su aplicación a un intervalo finito de energías del proyectil.

Las dos suposiciones son las siguientes:

1) La aproximación del potencial de interacción entre Zi y

Zx, se escribe como un potencial de Coulomb apantallado, usando la función  $\chi$  de apantallamiento, es decir:

$$V(r) = \frac{Z_1 Z_2 e^2}{r} \chi \left(\frac{r}{a}\right) \tag{1.3}$$

con radio de Thomas-Fermi de Apantallamiento para la colisión,

$$a = \frac{0.885 \text{ ao}}{(Z_1^{1/2} + Z_2^{1/2})^{2/2}}$$
 (1.3a)

siendo ao el radio de Bohr.

La función  $\chi$ Cr/a) puede ser aproximada por  $\chi$ Ca/r)  $\simeq$  a/2r, lo cual es valido si r/a). Esto , en el proceso de erosión iónica que nos concierne, es cierto por la baja energía de sus iónes.

2) La aproximación de impulso con el potencial anterior produce:

$$\Delta p = \int_{-\infty}^{\infty} F_{\perp} dx = \frac{1}{V} \int_{-\infty}^{\infty} F_{\perp} dt \qquad (1.4)$$

$$F_{\perp} = \frac{\delta V(r)}{\delta y} = -\frac{\delta V((r^2 + b^2)^{1/2})}{\delta b}.$$
 (1.4a)

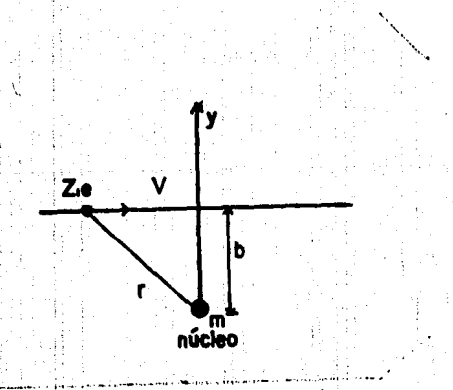


figura 1.8 Aproximación de impulso

Combinando las ecuaciones 1.4 y 1.4a obtenemos:

$$\Delta p = \frac{\pi Z_1 Z_2 e^2 a}{2r b^2} . \tag{1.4b}$$

Entoces la energia transferida al atomo removido es:

$$T = \frac{\pi^2 Z_1^2 Z_2^2 e^4 a^2}{8Mz v^2 b^4} . \tag{1.4e}$$

La sección eficaz de transferencia de energía esta dada por:

$$d\sigma = -2\pi \text{ b db} \tag{1.4d}$$

que al combinarla con la ecuación 1.4c, expresándola en función dela máxima energia de transferencia  $T_m=\frac{4\ M_1\ M_2}{(M_1+M_2)^2}E$  e integrando, nos da el valor para el poder de frenamiento.

$$Sn = - \begin{cases} T d\sigma = \frac{\pi^2 Z_1 Z_2 e^2 a M_1}{2 (M_1 + M_2)} \end{cases}$$
 (1.5)

Este poder de frenamiento es constante una vez especificados el proyectil y el blanco, y no depende de la energía de incidencia del ion, como ocurre experimentalmente. Durante su desarrollo se vió que esta aproximación depende fuertemente de que tan válido esaproximar el potencial por una función que dependa de  $r^{-2}$ , lo cual es cierto en un 80% para energía reducida  $\epsilon^{\dagger}$  comprendida entre 1 x  $10^{-1}$  y 1 eV [14.15].

Sabiendo que:

$$\mathcal{E}^{\dagger} \frac{(M_1 + M_2)}{M_2} \frac{Z_1 Z_2 e^2}{a} = E \tag{1.6}$$

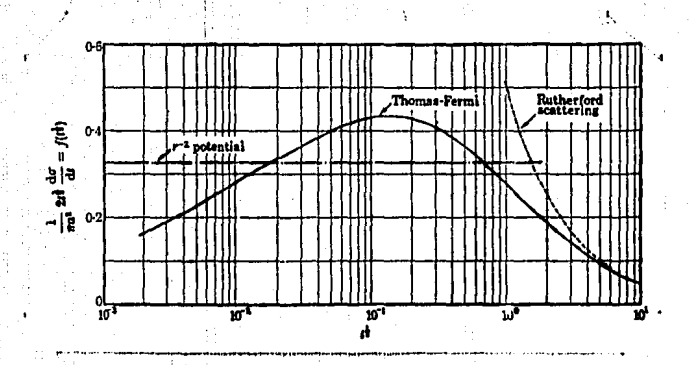


figura 1.9 comparación del Polencial (1/r) con el polencial de Thomas-Fermi.

El intervalo de validez es de 17.26 KeV a 118 KeV para la energia del ion incidente, es decir, es posible utilizar el poder de frenamiento obtenido mediante la aproximación de impulso obteniendo una buen resultado, si se usa una energía de ion dentro de ese intervalo.

## 1.6 MODELO DE THOMPSON (1968)

El modelo desarrollado por Thompson [18] es el inmediato predecesor del modelo de Sigmund, primer trabajo en donde es dillizada la ecuación de transporte de Bolzmann que demuestra la madurez alcanzada en el tratamiento teórico de la erosión iónica.

Thompson utiliza el modelo de colisión en cascada, y considera que la expulsión es generada por una colisión en cascada provocada por el ion incidente. Supone que la energia en la cascada es transferida por medio de colisiones binarias y que el camino libre medio de las partículas es independiente de la energía, esto conduce a un espectro de energías de la forma E<sup>-2</sup>. Siendo una buena aproximación para energías entre 10 eV y 10<sup>3</sup> eV

Supone también que el potencial de interacción entre el proyectil y el blanco es de la forma  $\frac{1}{r}$ , y por último que los

atomos son refractados al abandonar la sólido. Obteniendo como resultado un rendimiento de erosmon dado por la siguiente expresión.

$$Y = \frac{\pi^2 a \sigma^2 N^{2/3}}{8e} \frac{E_R}{E_B} \frac{M_1 C Z_1 Z_2 J^{5/6}}{C M_1 + M_2 J} = e c \theta$$
 (1.8)

Donde ao es el radio de Bohr, Ex y Eb son la energía de Rydberg y la energía de ligadura de la sólido, Mi y M2 son la masa del proyectil y del blanco respectivamente,  $\mathbb{Z}_1$  y  $\mathbb{Z}_2$  son sus números atómicos y  $\theta$  el ángulo de incidencia del proyectil.

Esta relación está limitada, debido a las aproximaciones hechas, a un intervalo de enfigias que va de 10 a 10<sup>3</sup>eV, para — ángulos menores a 60° y para M2»M1.

## 1.7 MODELO DE SIGMUND (1969)

Sigmund (19) considera la transferencia de energia de un ion primario a los átomos de un sólido isotrópico por medio de una colisión en cascada.

Sigmund observa el hecho de que en la curva de la distribución de daño en el sólido, existe una region fuera de la superficie que aumenta a medida que la masa del proyectil es mayor con relación al blanco. Entonces, busca una forma de expresar Y como una dependencia en la sección eficaz de frenemiento SnCED, la eficiencia en la transferencia de energía o(Mz/Mi) y la energía de ligadura de la superficie Uo.

Utiliza la ecuación de transporte de Bolzmann para obtener el alcance y la distribución de la función de transferencia de momento entre la partícula incidente y el blanco.

La validez en el uso de ésta ecuación en la solución del problema, está supeditada a qué tanto se aproxima la situación—real al modelo en el cual se hacen las siguientes guposiciones [23]:

Un desarrollo más extenso puede ser visto en el apendice 1

- 1) La sección eficaz de dispersión es la suma de las secciones nuclear y electrónica.
- 2) La dispersión es producida por colisiones binarias independientes, por lo que la contribución de los elementos en blancos compuestos es simplemente aditiva.
- 3) El frenamiento electrónico es una fuerza que remueve energía continuamente de la distribución.
- 4) Sólo los eventos nucleares causan retrocesos a desviaciones significativas.
- 5) Es posible usar la mecánica de dos cuerpos para describir las colisiones.

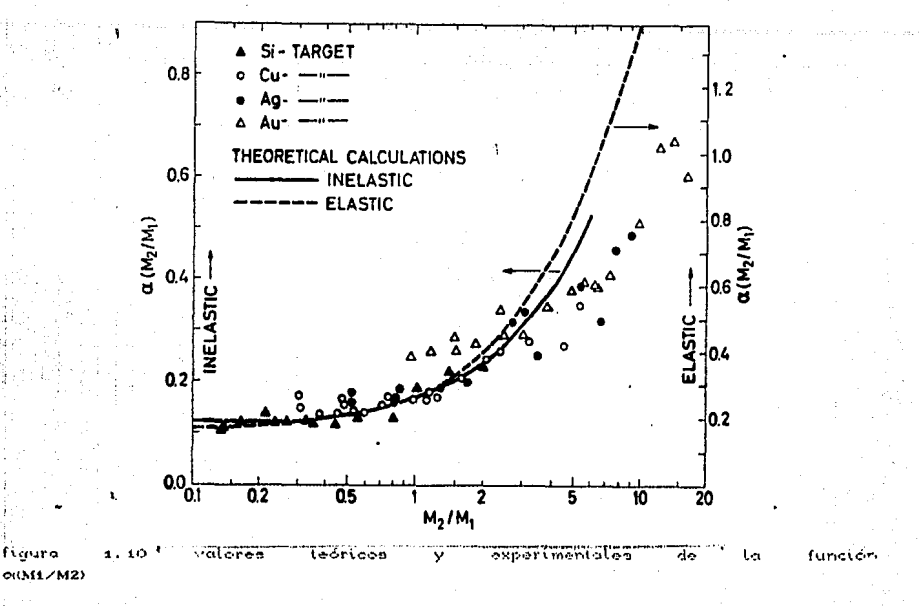
Sigmund resolvió la ecuación resultante usando polinomios de Legendre y la aproximación al potencial del modelo atómico de Thomas-Fermi, que le permitió obtener una expresión para la sección eficaz de transferencia de energía y así llegar a proponer:

$$Y = \frac{3 \text{ F(E)}}{4\pi^2 \text{ N Co Uc}}$$
 (1.9)

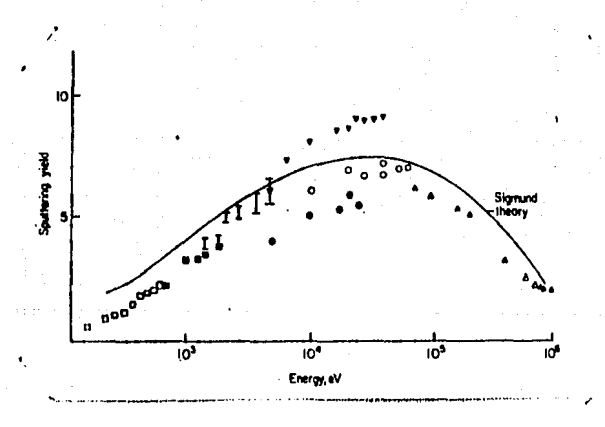
Donde N,Co y Uo son determinadas para cada bianco, pudiéndose-aproximar Co= $\pi a^2 \lambda_0 (1/2)$  con  $\lambda_0$ =24 para cualquier blanco. El proyectil se toma en cuenta dentro de la función FCE) que está dada por:

FCE) = 
$$\alpha$$
CM2/M<sub>1</sub>DC $\frac{dE}{dx}$ D<sub>h</sub> =  $\alpha$ CM2/M<sub>2</sub>D N SnCED (1.10)

La concordancia con los resultados experimentales es excelente para  $M_2 \le M_1$ . Pero la teoría sobre-estima  $\alpha$  para blancos pesados.



En particular para la combinación argón-cobre, se ha obtenido la siguiente gráfica.



Sigmund figura 1. 10 Comparación los resultados obtenidos Almen trabajos d⊕ al. (1961)(o): tos datos experimentales los southern ot. (1963)(I): (1960)(**(**); ചി. (1966)(ക); Guseva Dupp al. (1960) al. (1966XD); Weijsenfeld(1907)(U); Yonts Wehner ę٤ (\*) para cobre bombardeado por argón.

El modelo de Sigmund predice además la dependencia angular de rendimiento de erosión, ya que a mayores angulos con respecto a la normal la cascada de colisiones es más superficial y hay mayor probabilidad de que los átomos sean expulsados, hasta un ángulo maximo a partir del cual rendimiento de erosión disminuye, que es cuando la transferencia de energía es muy pequeña. Si Mz»Mi la dependencia es  $\sim$  sec  $\theta$ , pero si Mz $\sim$ Mi esta cambia a ser sec $^{5/3}\theta$ .

#### 1.8 SIMULADOR TRIM (1987)

La simulación TRIM es un programa de computadora que simula el fenómeno de erosión iónica por medio del cálculo de Monte-Carlo, que le permite evalurar el rendimiento de erosión causado en un blanco de material conocido por un haz de iones.

El simulador tiene como ventajas que es ampliamente aplicable, produce resultados numericos más precisos que la teoría y ocupa menos memoria en una máquina que la solución numerica a la ecuación integral de transporte.

Toma en cuenta la mayoría de los efectos físicos que intervienen en el transporte de iones o retrocesos en un material amorfo, basado en colisiones binarias con el blanco en reposo, que puede ser extendido para incluir interacciones multiples.

Considera colisiones binarias al igual que la teoría de trasporte, es decir, la historia del ion es determinada por una serie de encuetros binarios subsecuentes con los átomos del blanco. Esta suposicion deja de ser válida a muy bajas energias en donde el proyectil interactiona con varios atomos del blanco almismo tiempo, lo que introduce errores en los resultados, pero practicamente los resultados obtenidos del rendimiento de erosión concuerdan catisfactoriamente con los datos experimentales disponibles.

La historia de cada ion comienza con una cierta posición, dirección y energía del ion antes de entrar en el material blanco. Al penetrar el ion sufre una serie de colisiones binarias, en las que se hace la suposición de trayectorias rectilineas entre colisiones, perdiendo energía por la interacción eletrónica y nuclear, esta ultima se refiere a la energía transferida al átomo del blanco en la colisión. Si el átomo blanco recibe suficiente energía como para liberarse de su ligadura retrocede siguiendo el mismo proceso del ion incidente y causando que un mayor número de atomos del blanco retrocedan integrandose al proceso. La historia —

de cada una de estas partículas termina cuando su energia es tan pequeña que ya no pueden producir más desplazamientos o cuando son removidos de la solido anterior o posterior del blanco.?

El programa considera al blanco como una solido amorto. - despreciando las propiedades direccionales que presentan los cristales.

Los avances en parametros físicos como el poder de frenamiento electrónico y el potencial de interacción atómico, importantes en las cascadas a bajas energías, han permitido la obtención de rendimientos de erosión, distribución angular y en energía para la mayoría de los metales sin utilizar parámetros ajustables.

"Como función de apanatallamiento al potencial de interacción utiliza la siguiente relación:

$$\Phi = 0.1818e^{-3.2x} + 0.5099e^{-0.9423x} + 0.2802e^{-0.429x} + 0.02817e^{-0.2016x}$$

con  $\times$  = r/a, a diferencia de aquéllas que usan un potencial—apantallado, como es el caso de la ecuación 1.3 de la aproximación de impulso. A altas energias es mejor utilizar potenciales coulombianos que dependan de r<sup>-n</sup> con 1.5 $\le$ n $\le$ 2 para facilitar loz calculos.

Para calcular las ángulos de deflexión de las particulas utiliza la relación llamada ''mágica'' que se basa en simples consideraciones geométricas.

$$\cos\theta = \frac{p + \rho + \delta}{\rho + r_0} \tag{1.11}$$

con p el parámetro de impacto,  $\rho$  el radio de curvatura, ro minima distancia de aproximación y  $\delta$  término de corrección. Esta función reproduce la integral de dispersión con un error menor al 2% para todos los potenciales comunes, y que aumenta su prefición a bajas energias con respecto a los que utilizan aproximaciónes del potencial por  $V\sim r^{-n}$ .

El poder de frenamiento electrónico no lo desprecia, ya que si lo hiciera produciría rendimientos de erosión mucho mayores a los obtenidos experimentalmente. Lo considera formado de dos partes, a las que llama local y no local, que se refieren al poder

de frenamiento electrónico durante la colisión, o en la trayectoria entre colisiones, respectivamente.

Los estudios realizados con TROM han tenido una buena concordancia con los resultados experimentales, teniendo algunos problemas en las regiones en las cuales existe una gran densidad de colisiones para las cuales se pierde la linealidad y el modelo de colisiones binarias deja de ser válido. También se han tenido problemas cuando se trabaja con blancos de carbón o con carburos, porque con ellos se han obtenido cambios en la zona umbral y con los rendimientos de erosión, lo que hace suponer que existen cambios en la energía de ligadura cuando estos son irradiados.

Para la combinación de argón sobre cobre no existen problemas en Guanto a la utilización del simulador UROM, ya que por las — propiedades del blanco y del proyectil, y la energía a la que se produce el bombardeo, el modelo de colisiones binarías es válido y por tanto su predicción es confiable.

# CAPITULO SEGUNDO PRODUCCION DE HACES DE IONES

Como se puede observar a lo largo del desarrollo de la l'isica, existe una dependencia entre el desarrollo tecnológico y los avances científicos. En el caso de las técnicas de análisis de películas delgadas no ha ocurrido una excepción, principalmente con los sistemas de producción de iones, de detección y los de vacío, herramientas necesarias para la realización de los estudios, que muchas veces se ven limitados en su alcance por cuestiones meramente técnicas.

importancia, una Debido breve descripción su características propiedades de principales elementos v los relacionados a la producción de haces de iones se hace necesaria. Además es importante mencionar que para realizar la erosión iónica regulada se monto un pequeño cañón de lones, por lo que se realizó una revisión de las principales propiedades de las fuentes y uaffones de iones para asegurar un funcionamiento óptimo y poder enfrentar los problemas que pudieran surgir durante utilización.

#### 2.1 GENERALIDADES

El equipo necesario para producir haces de iones consta esencialmente de tres partes fundamentales; fuente, cañon y óptica asociada, que están relacionadas con la producción, extracción y conducción de los iones, respectivamente. El diseño de estas etapas está regido principalmente por las siguientes características generales (29,30).

1)Tipo de iones que se desea producir;

2)Cantidad de iones ó intensidad de la corriente de cierto tipo de ion;

3)Divergencia angular del haz una vez que ya ha salido de la fuente. Esta es una característica asociada con el coeficiente de aberración esférica de la fuente, al cual se hace referencia en el apéndice 2;

4)Brillantez, o densidad de corriente emitida por unidad de ángulo sólido de la divergencia del haz:

5)Emitancia, definida como el area bajo la curva del plano fase de las partículas que forman parte del haz. La cual tiene la propiedad de ser constante a lo largo del haz. Esta propiedad es una forma de evaluar la dispersión y la divergencia angular de un flujo de partículas;

óDDistribución o dispersión en energía que se crea en los iones desde su formación y su transporte, hasta llegar al bianco;

7) Efficiencia en la ionización, es decir, la razón entre los átomos que son suministrados a la cámara y el número de ellos que son ionizados:

Todas estas características están relacionadas unas con otras, existiendo el compromiso de que al eptimizar alguna se haga parjuicio de las demás. Esto debe ser valorado por el diseñador — teniendo en mente la utilidad para la cual se construye la fuente.

## 2.2 PRODUCCION DE IONES

## 2.2.1 IONIZACION

llay que recordar que cualquier proceso mediante el cual se suministra energia suficiente a un atomo para lograr que de este se desprenda uno o más electrones, es conocido como proceso de lonización. Existen varias formas de transferir la energia al átomo, siendo las más importantes la colisión con electrones, las interacciónes electromagnéticas y las interacciónes térmicas. Estos procesos son utilizados en las diferentes fuentes de iones, de manera tal que se cuenta con una gran variedad de éstas con las que se pueden obtener cualquier tipo de ion, sin importar el estado fisico del material (sólido, líquido o gaseoso).

#### 2.2.2a FUENTES DE IONES

La fuente de iones es la región de donde son extraídos los lones que van a formar parte del haz. Existen una infinidad de modelos cuyos detalles en el diseño están realizados para resaltar alguna de las características mencionadas en la sección de generalidades, las cuales determinan su forma, tipo de ionización, materiales de construcción, etc..

Una de las clasificaciones más importantes es la que se refiere a su forma, es decir, si ésta es fija o variable. Uno de los ejemplos más importantes de fuentes con forma variable es el plasma.

## 2.2.2b PLASMA COMO FUENTE DE IONES

En ciertos tipos de fuentes, pero principalmente en las de impacto electrónico, los iones producidos son contenidos en una región espacial finita, en donde se concentran formando un plasma, para después ser extraídos.

Un plasma es un gas de particulas cargadas en equilibrio cuya distribución esta influenciada por las interacciones electromagnéticas que existen entre elias y el exterior [29,30]. Sus propiedades son múltiples y complicadas en su descripción, pero para nuestros objetivos basta con conocer las siguientes para poder entender la influencia de campos eléctricos y magnéticos en su estabilidad y en las características finales del haz producido.

DEI plasma es una región en equilibrio, por lo que es necesario que la densidad de electrones y de iones se mantenga, es decir, la recombinación debe ser balanceada por el proceso de ionización, lo que implica que una fuente externa de energía es necesaria.

2)El campo eléctrico perpendicular a la frontera del plasma es nulo.

3)La frontera es una superficie equipotencial.

Para que estas condiciones sean cumplidas, el plasma debe sufrir reacomodos ante cualquier perturbación electromagnética, por lo que su forma es variable [28] y depende de los electrodos que lo contienen. Esta variabilidad en su forma produce que el haz de particulas extraídas del plasma tengan una dispersión alta en energía, un pobre enfoque, alta aberración y un diámetro grande en el haz producido.

## 2.2.3 TIPOS DE FUENTES DE IONES

# 1) Fuente de Arco en Electrodos Móviles

Este lipo de fuente fue diseñado para producir lones materiales sólidos. Trabaja utilizando una chispa en entre dos electrodos, siendo uno de ellos del elemento que ionizar. حوصورا Los electrodos son acercados ale lados mecánicamente para producir un arco eléctrico, de donde extraidos los iones en una dirección perpendicular los alection has

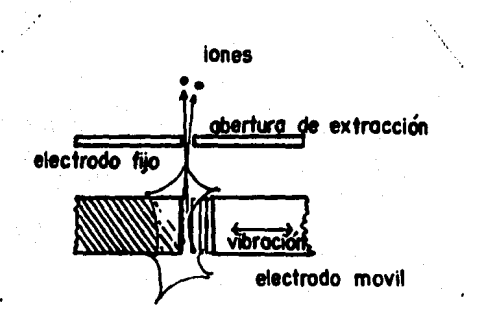


figura 2.1 Esquema de chispa de descarga (Spark discharge).

Esta técnica tiene como ventajas que crea iones de elementos sólidos mono-cargados con alto grado de pureza, puede producir átomos cuádruple y quintuplemente ionizados, y puede formar plasmas muy densos; pero, sus desventajas son la dispersión en energia de los iones que produce, su inestabilidad en el tiempo, la corta vida de sus electrodos, el cambio de posición de la chispa y el calentamiento del electródo.

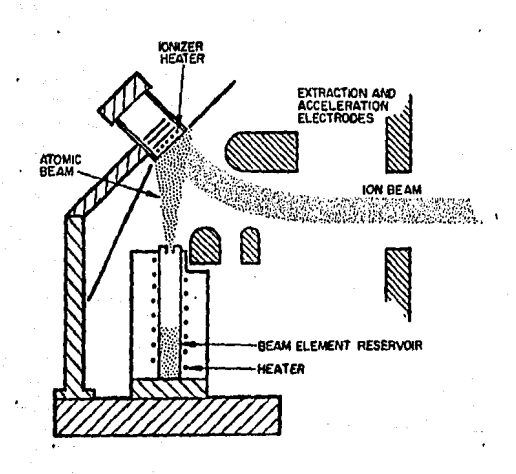
# 2)Fuente con Superficie de Ionización

Su funcionamiento se basa en el hecho de que una particula. con bajo potencial de ionización, puede ser ionizada por contacto con una superficie que tenga una alta función de trabajo y una temperatura tal, que no sea lo suficientemente alta como para

producir emisión de sus propios atomos ionizados.

Esta técnica se utiliza principalmente para combinacion de metales adkalinos (Cs.Rb.K.Na y Li) y átomos con alta afinidad electrónica (F.Cl.Br y D), que forman los lones y la superficie. respectivamente.

La forma en que es suministrado el vapor de gas a fonizar depende de la aplicación que se le quiera dar al haz, siendo la más efectiva aquella en la que los átomos a lonizar son dirigidos horno, en donde son evaporados, а la superficie ionización (14.29.30), la cual es calentada por una eléctrica. Una vez ionizados las particulas en la superficie, los iones son extraídos en trayectoria curvilínea usando complejo de electrodos, con lo que los átomos no ionizados son y dirigidos del haz a una superficie Ceta condensactos.



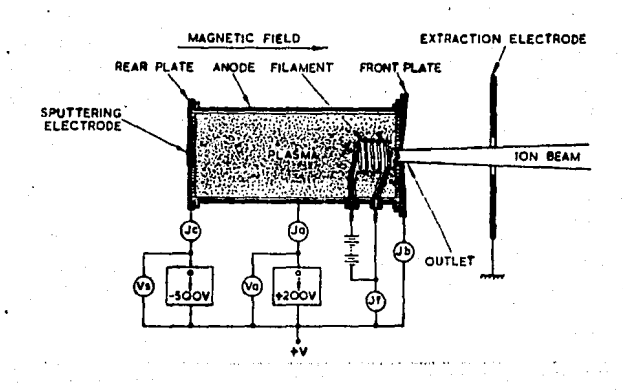
ligura 2.2 fuente de Superficie de Ionización.

Los iones generados de esta forma presentan una baja dispersión en energía y una eficiencia muy buena, que puede optimizarse escogiendo la combinación adecuada de la superficie de ionización y de los átomos a ionizar. Una desventaja es la limitación de los elementos que pueden ser utilizados.

# 3)Fuentes de Impăcto Iónico

Agui la ionización es causada por el impacto de un ion contra un átomo cuando su energia (10 KeV a 10 MeV), es igual o mayor a energia de ionización de éste ultimo. Los iones pueden ser emitidos también de un substrato mediante el proceso de erosión lónica, esto es, se introduce una muestra del material que quiere ionizar, polarizado negativamente con respecto al anodo. lones del plasma son acelerados contra el substrato. uue erosionado, emitiendo partículas en su mayoría neutras, pero probabilidad finita de ser ionizadas Lienen una de condensarse en las paredes de la camara.

Algunas veces el calor generado en la muestra la vaporiza, aumentando la emisión de los iones, llegando a producir una descarga autosostenida pero poco estable.



flaura 2.3 Fuente de impacto iónico.

La producción de iones mediante este procedimiento es pequeña y forma un haz mal definido, además existe un deterioro del substrato, el cual hay que estar reemplazando constantemente.

# 4)Fuentes de Ionización Térmica

aue erauso cuando la ionización Utilizando cinética térmica de las partículas que colisionan es mayor que la energía de ionización, es decir, cuando un gas es calentado a una distribución la cola de la suficientemente aita. temperatura

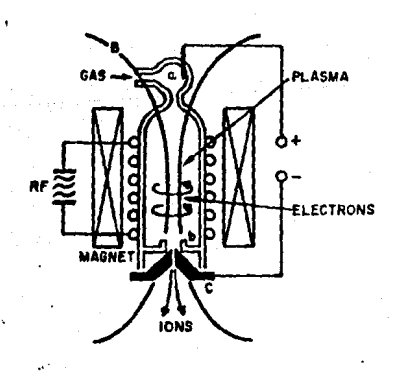
térmica de energía crece tanto que puede producir un alto grado de fonización.

Los problemas que causa usar este tipo de ionización son las altas temperaturas a las que se debe trabajar, la pobre definición de la energía de los iones producidos y la posible contaminación del volumen de gas.

#### 5)Fuentes de Radiofrecuencia

Una fuente de radio frecuencia puede ser usada para crear un campo eléctrico oscilante a lo largo de la nube de átomos que se quiere ionizar, obligando a los electrones y a los iones a moverse, pero debido a la diferencia de masas existente, los electrones se mueven más y con mayor velocidad [28], produciendo colisiones ionizantes a su paso, generando un plasma del que se extraen los iones, principalmente positivos, por medio de potenciales fijos.

La radio frecuencia puede ser aplicada a un par de electrodos o a una bobina que rodea la cámara de descarga. La densidad del plasma es regulada por la presión del gas o por la potencia de la radio frecuencia. Su geometría esta determinada por las características óptimas de funcionamiento, es decir, en forma empírica.



ligura 2.4 fuente de radicfrecuencia.

Este tipo de fuentes es ideal para obtener iones de gases ligeros como  ${}^{1}H^{+,2}D^{+,3}T^{+,4}H_{e}^{+}$ , etc., con una alta eficiencia,

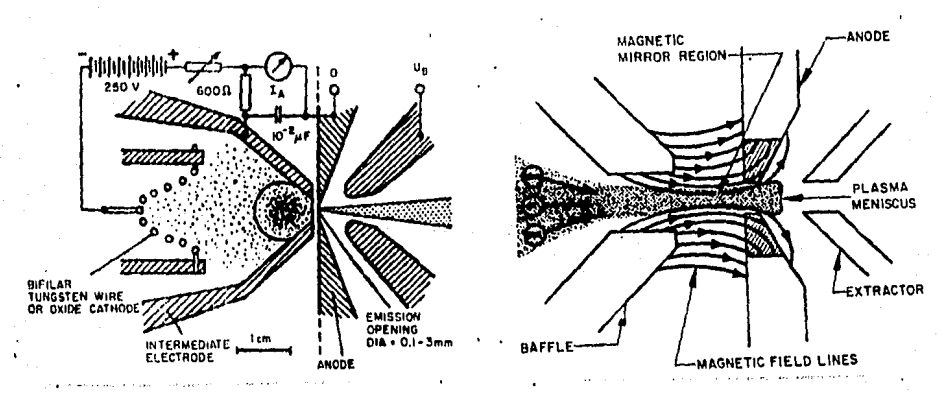
productendo corrientes mayores a los 100 mA, con presiones de  $10^{-3}$  a  $10^{-2}$ Torr a frecuencias entre 10 y 30 MHz.

El problema que presenta el uso de esta fuente de radio frecuencia os la alta dispersión de la energia en los haces de lones que produce.

## 6) Plasmatrón y Duoplasmatrón

Es una extensión de la fuente de arco de descarga, con la diferencia de que el plasma producido es atrapado en una región cónica intermedia, que se encuentra a un potencial intermedio entre el del cátodo y el del ánodo. En el duo-plasmatrón el plasma os además comprimido con un campo magnético uniforme, lo que le da una eficiencia mayor, de 50 a 95%, comparada con el 10 a 20% del uno-plasmatrón.

Con este tipo de fuentes se pueden obtener haces de alta densidad con gran eficiencia, pero a un alto costo debido a una geometría complicada, a la limitación en los materiales de construcción y a la corta vida en sus electrodos, ya que la gran distración de calor que se produce en los electrodos, hace que la selección de los materiales para su construcción, sea de aquellos con un alto punto de fusión, como por ejemplo molibdeno.



liqura 2.5 uno-plasmatrón y duo-plasmatrón.

# 7)Fuentes de l'onización de Campo

Es una l'uente que utiliza la ionización que ocurre cuando átomos o moléculas son ionizadas al pasar por una superficie que se encuentra a un potencial muy elevado.

Presenta las mismas ventajas que las fuentes con superficie de ionización, pero también siendo una limitante la poca variedad de lones que se pueden producir.

## 8)Fuente de Fotolonización

Aprovecha la ionización causada por la incidencia de fotones con energía mayor a la energía de ionización, que a diferencia de la ionización por impacto electrónico, la probabilidad de foto-ionización disminuye al aumentar la energía sobre el nivel umbral.

Para este tipo de ionización son necesarios grandes flujos de fotones y altas presiones de gas, pero se tiene la ventaja de no necesitar filamento o cátodo, y que se pueden producir iones muy específicos.

## 9) Otros Tipos de Fuentes

Existen otros tipos de fuentes de iones, las cuales utilizan algunos fenómenos auxiliares en combinación con los ya descritos para producir los haces de iones. El intercambio de carga, la captura electrónica y las emisiones nucleares, son solo algunos de los fenómenos que pueden aumentar la versatilidad de las fuentes ya existentes.

En el Intercambio de carga, en sentido estricto no se crean iones durante una colisión, pero se ionizan los átomos del tipo deseado. Este fenómeno puede causar problemas cuando ocurre en regiones de la conducción del haz, contaminándolo con otros tipos de lones que no son bien enfocados y que pueden dañar los electrodos.

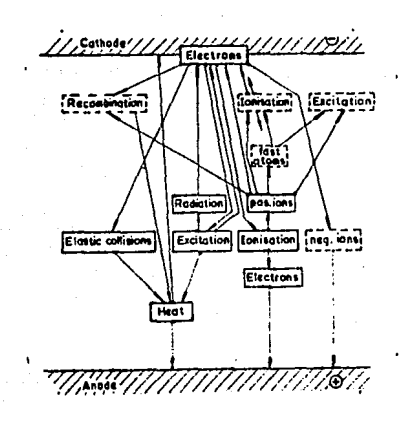
La captura electrónica consiste en que mediante ciertas condiciones que influyen en la probabilidad de ionización dadas por la energía de las particulas a ionizar, densidad electrónica y la electronegatividad del material se puede lograr que los átomos atrapen electrones produciendo así iones negativos.

Por último, es interesante mencionar que algunas veces es posible aprovechar el hecho de que ciertos iones son producidos por un decaimiento nuclear, o son productos de la fisión. La ventaja que presenta este tipo de obtención de iones es que estos iones tienen energias muy altas, del orden de MeV y son emitidos de manera isotrópica por el núcleo emisor.

#### 2.2.4 FUENTES DE IMPACTO ELECTRONICO

La fuente utilizada en el experimento funciona utilizando como medio para producir la ionización, el impacto electrónico, y de los iones producidos se forma un plasma, del cual son extraídos los iones, es por eso que se dedica un mayor espacio a la explicación de este tipo de fuente.

Un haz de electrones que pasa através de un gas puede perder - energía de varias formas, ya sea mediante colisiones elásticas en las que sólo existe un intercambio de momento con los átomos del gas, o bien por colisiones inelásticas en las que produce lonización, excitación o disociación, entre otros fenómenos(28).



ligura 2. o Procesos elementales en una descarga en un gas.

una energia cinética en Leansferencia de La elástica, debido a la diferencia de masa, es mínima, no así para transferencia Inelásticas donde la en colisiones interna es máxima. La energia cinética del gas no se ve alterada puede suponerse que incluso en forma considerable, e producir ionización. utiliza para de energia se transferencia Gracias a esto y a que cuando se produce una ionización, el electrón incidente y el emitido continuan colisionando, se produce una gran cantidad de iones, mayor que la obtenida por cualquier otro método

Colisión Elástica

Colisión inelástica

1117

 $\cos^2 \theta$ 

$$\frac{\text{E2}}{\text{E1}} = \frac{\Delta m_2 m_1}{\left(m_1 + m_2\right)^2} = \frac{\Delta U}{\left(m_1 + m_2\right)} = \frac{\Delta U}{\left(m_1 + m_2\right)}$$

2.7 comparación de la transferencia de encrafa entre ಚಲತ particulas que colisionan. E1. E2 son las energias inicial del Lón incidente y la final del blanco, U es la enorgia interna dat m1.m2 aon las masas del proyectit v del blanco, respectivamente v e ol ángulo de dispersión.

Una cantidad que resulta útil en la descripción de ta produción de iones por medio de colisiones electrónicas es el coeficiente difencial de ionización So, definido como la cantidad de colisiones ionizantes que sufre un electrón que pasa a través de un gas, por unidad de longitud recorrida, por unidad de presión. Este coeficiente depende tanto de la energía del electrón de las propiedades del gas. Experimentalmente se descubierto que este coeficiente es máximo cuando el electron tiene una energia ligeramente superior a la energia de ionización del ras.

El flujo inicial de electrones es originado normalmente por medio de producción termoiónica (hot cathode), o usando el llamado cátodo frio (cold cathode). El funcionamiento de este último aún no ha sido explicado de una manera satisfactoria.

Ahora bien, el número de iones por centimetro cuadrado, por secundo $(\hat{\mathbf{n}})$ , producidos por una densidad de corriente electrónica Ka/cm²), a lo largo de la distancia (cm) en un gas a una presión p(Torr) esta dada por [29,30]:

energias puede aproximarse Se≃a(We-eVi) por So donde aproximadamente tres veces menores que la energia de ionización del gas.

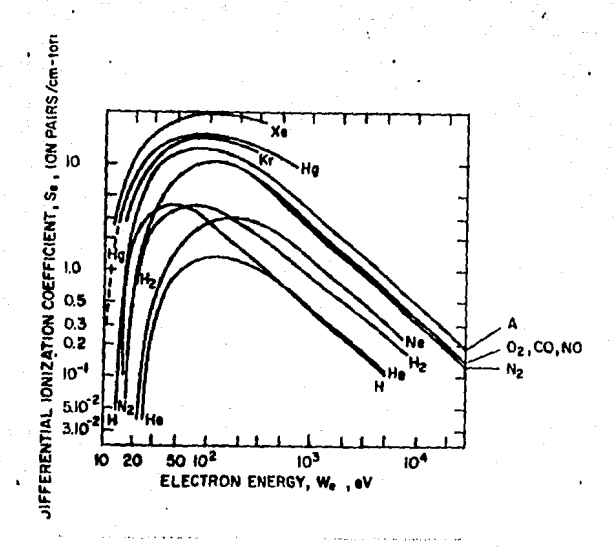


figura 2.8 Coeficiente diferencial de ionización va energía de los olectrones.

De esta relación es ciaro que para maximizar la producción de iones es necesario que los electrones permanezcan el mayor tiempo posible en el gas, hasta que su emergia sea tan pequeña que no puedan producir mas ionizaciones. Es por eso que se utilizan campos magneticos, que además de aumétar la densidad del piasma — mantienen a los electrones moviendose en trayectorias circulares — durante mayor tiempo en el gas.

#### 2.3 EXTRACCION DE IONES

#### 2.3.1 CAÑON DE IONES

El cañon de iones es en si el arregio de electrodos que extrae a las particulas ionizadas que forman el haz. La extracción de la fuente debe realizarse en forma apropiada, ya que de esto depende que el haz adquiera aberraciones, muchas de las cuales ya no pueden ser corregidas por medios ópticos posteriores, por lo que es necesario un cuidadoso diseño de los electrodos.

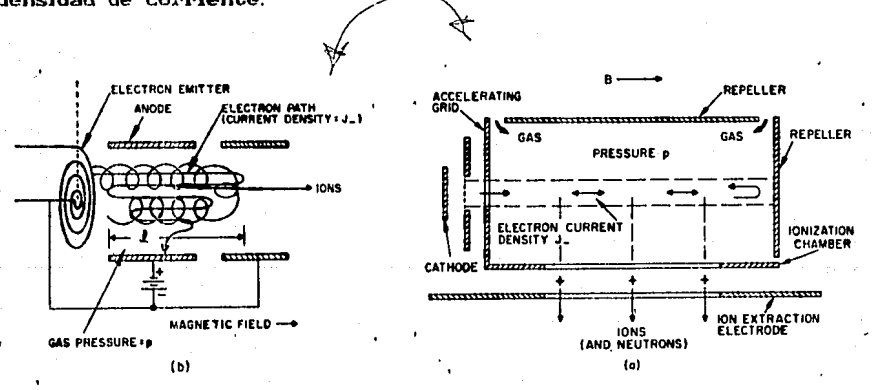
Un parametro que es conveniente mencionar es perveance P,

variable que relaciona el voltaje extractor y la corriente del haz obtenido. Definida como la razón entre la corriente del haz y su voltaje extractor elevado a  $3/2_l^l$ 

$$P = \frac{1}{v^{3+2}}$$
 (2.2)

El diseño de los electrodos debe tomar en cuenta la geometria usada para generar los iones, que por ejemplo, en las fuentes de superficie de ionización es fija, no así en las de impacto electrónico en donde la fuente es un plasma.

La extracción de los iones de un plasma puede realizarse paralela o perpendicular al eje de la columna del plasma, en las que solamente existe diferencia en la práctica, ya que teóricamente son indiferentes [29]. Normalmente extracción axial o paralela ha sido utilizada para producir haces con sección transversal circular y con baja densidad de corriente, y los de extracción lateral o perpendicular para haces planos con alta densidad de corriente.



frigura 2.9 extracción axial y lateral de la fuente de iones

Cuando la fuente de iones es de geometria variable, como es el caso de un plasma, existen dos problemas principales en la extracción de los iones que dificultan la obtención de un haz laminar: el efecto de lente de la abertura y el efecto de espacio-carga.

#### 2.3.2 EFECTO DE ESPACIO-CARGA

Los iones dentro del haz, debido a su carga, generan un campo eléctrico transversal, que produce una dispersión del haz en forma transversa expandiendo el diámetro del haz.

Una aproximación en la descripción de la forma del haz puede hacerse suponiendo una distribución de carga uniforme en un haz cilindrico en el cual se puede calcular el campo eléctrico por medio de la ley de Gauss 1291, obteniendose una dependencia del radio mínimo alcanzable por el haz, de la Perveance y de la trayectoria inicial de los iones. Esta solución, auque aproximada, da una idea general del comportamiento de un haz de iones. Por ejemplo, de esta relación se puede observar que los haces de iones pesados se ensanchan más rápidamente que los haces de iones ligeros como consecuencia directa de la diferencia de masas.

#### 2.3.3 EFECTO DE LENTE DE LOS ELECTRODOS DE EXTRACCION

Debido a las propiedades del plasma que ya fueron mencionadas, los electrodos de extracción causan una perturbación que es compensada en parte con un cambio en la forma de la frontera que limita con la abertura de extracción en forma de menisco, los iones al salir experimentan fuerzas transversales que los desvian de sus trayectorias paralelas, enfocándolos en un punto, es decir, produciendo el efecto de una lente [29,30].

Si la abertura es pequeña comparada con la distancia que existe entre el extractor y la fuente, puede obtenerse el foco de dispersión mediante la siguiente relación:

$$f = \frac{4Vo}{62 - E_0} \tag{2.3}$$

con  $Vo_{\mu\nu}$  voltaje extractor, E2 campo axial fuera del extractor y  $E_9$  — dentro del extractor.

Si lo que interesa es el ángulo total de dispersión entonces se usa:

donde la es la divergencia total del haz, t el ancho de la aberturo de extracción, d la distancia entre los electrodos de

aceleración y d es la distancia entre los electrodos de extracción para un plasma con frontera plana.

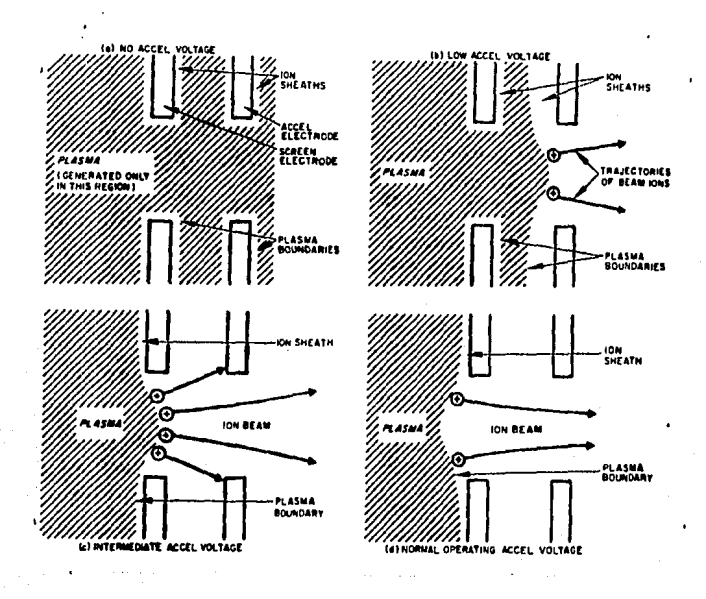


figura 2. » Efecto de lente de la abertura

Estas relaciones dan una aproximación al comportamiento del haz, pero no existe otra forma para calibrar una fuente para que produzca un haz laminar que hacerlo empiricamente variando la distancia y el voltaje de los electrodos de extracción.

#### 2.3.4 ELECTRODOS DE PIERCE

Para disminuir en parte los efectos del ensanchamiento del fuente, Pierce [29.30] considero salir de la los electrodos de extracción deberían ser curvos, con una forma tal que el campo total generado por el haz y los electrodos, en el frontera del flujo de particulas interior v en la carezca de componente transversal al flujo de los iones, logram que las particulas sigan una trayectoria rectilinea con un Clujo laminar.

En 1940, diseñó este tipo de electrodos para producir haces

dœ Perveance ~ 10<sup>-4</sup>±10<sup>-6</sup> A/V2/2. uue fue diseñado considerar los efectos de carga espacial del haz, los cuales son importantes para haces con Percegnice mucho mayor a 100 veces el valor anterior. Su diseño ha sido la base para cañones con alta densidad de corriente v haciendo una extensión pueden utilizados para haces cilindricos y planos [29].

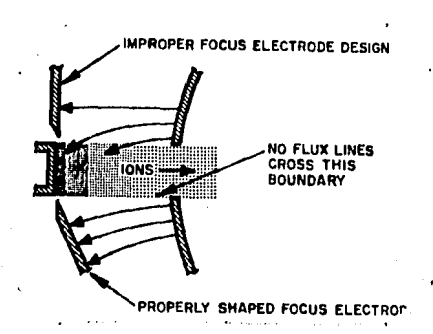


figura 2.10 diagrama de cañón tipo Pierce

#### 2.3.5 LENTES DE ACELERACION-DESACELERACION

Aunado al cañon tipo Pierce para corregir los efectos de — carga espacial, de un haz cilíndrico se puede utilizar un tipo de lente ilamada de aceleración-desaceleración o lente Einzel, que tiene la característica de enfocar el haz sin cambiar su energia.

Consiste de una lente electrostática compuesta por tres electrodos: dos externos, los cuales se encuentran a un mismo potencial Vi (que se acostumbra sea referido a tierra), y uno interno a un potencial Vz. La lente es convergente para casi cualquier combinación de Vi y Vz, pero puede convertirse en un espejo si Vz es de polaridad opuesta a Vi y si se cumple que Vz/Vi ≥0.10.

Las dimensiones de la lente son críticas en la determinación de las características focales, principalmente el ancho y el diámetro del electrodo central y su relación con la distancia,—entre los electrodos externos. Una distribución clásica es aquélla en la cual la distancia entre los electrodos extremos es igual al ancho de la abertura del electrodo interno.

Una característica impotante de esta lente es que su coeficiente de aberración esférica, al cual hago referencia en el apendice, aumenta rapidamente ai aumentar la distancia focat, es decir,  $c = ct^{2.7}$  así que la lente debe ser diseñada para dar la menor distancia focal posible, y así reducir el efecto de aberración esférica.

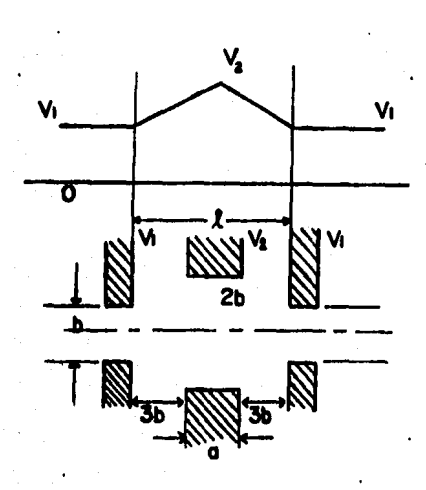


figura 2.11 Esquema de unalente Einzel

#### 2.4 CONDUCCION DE TONES

El haz que se obtiene de la fuente y del cañón de iones, — puede ser objeto de multiples manipulaciones que cambian sus propiedades por aquélias que son deseadas al momento de impactar — en el blanco.

Enfoque, aceleración, separación de masas y deflexiones son algunos de los cambios que puede sufrir el haz a lo largo de su trayectoria, causadas por aparatos que aprovechan las propiedades electro-magnéticas de las particulas que lo forman. El diseño final de estos aparatos se hace generalmente de una manera semiempirica, ayudados por la simulación por computadora, por lo que antes de diseñarlos es necesario conocer las características particulares del haz que se desea manejar, es decir, el producido por la fuente.

Una técnica por medio de la cual se puede hacer un diseño

Langing aproximado de estos etementos se logra utilizando la aproximación paraxial, que es aplicable a haces para los que el #Pecto carea espacial sea despreciable v sus travectorias Lormen un àngulo pequeño con respecto al eje principal. Esto permite. asociae un vector bidimensional V matrices transformación al haz y a cada elemento que toma parte en la conduccion del haz f291.

#### 24J SEPARACION DE MASAS

Para lograr la separación de masa existen dos instrumentos que son los más usados; el sector magnético y el separador de campos cruzados.

#### 2.4.1a SECTOR MAGNETICO

Es la configuración más sencilla de los separadores de masa, formado por una sección de disco encerrada en dos placas de acero entre las cuales se crea el campo magnético B constante.

La relación que guardan el radio de curvatura de la trayectoria de la particula y su momento es:

$$\frac{1}{\rho} = \frac{eBo}{Pc} = 0.69 \frac{B}{(2.5)}, \qquad \phi = \frac{1}{\rho}$$
 (2.5)

donde B se mide en Gauss y V en Volts.

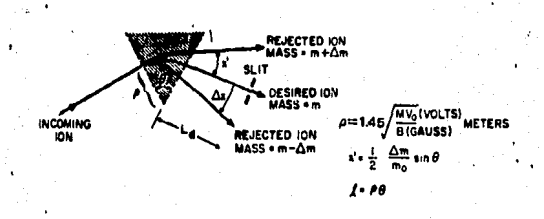


figura 2.12 diagrama de una sección de magnete.

Si la entrada del haz no es perpendicular al magneto, se

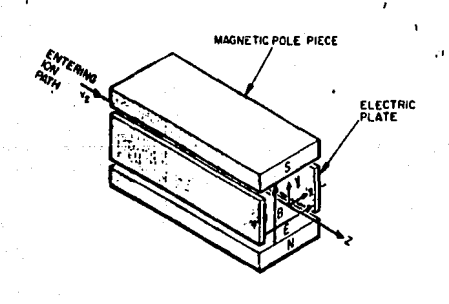
'- producira un efecto de lente en donde el objeto , la imagen y el centro de curvatura están en una linea recta (29).

Los baces monoenergéticos no existen en la realidad y su dispersión es amplificada al pasar por el separador, produciendo un ensanchamiento del baz.

#### 2.4.1b SEPARADOR DE CAMPOS CRUZADOS (ExB)

También liamado "analizador de velocidad" o "filtro Wein" es otra clase de separadores de masa que utiliza un campo eléctrico perpendicular a un campo magnético en donde la selección de las partículas se hace balanceando las fuerzas producidas por los campos sobre las partículas permitiendo el paso libre de las partículas de interés y desviando el resto.

El potencial entre los platos se escoge de tal manera que el plano equipotencial central se encuentra a potencial de tierra. Las lineas equipotenciales tienen forma de barril debido a que el ancho de las placas es comparable a la separación que existe entre ellas, esto causa una distorción del haz si no se hace una corrección de campo eléctrico.



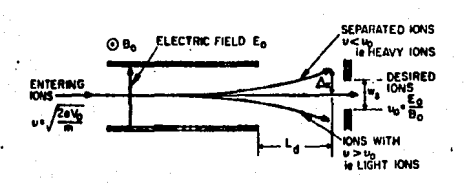


figura 2.19 separador de Exfl

Un problema de operación de este tipo de separador son los iones que se depositan en las paredes produciendo corrientes de fuga entre las piacas disminuyendo el campo a niveles inferiores al necesario para separar las masas.

El campo magnético y el eléctrico están relacionados en la situación de equilibrio por Eo=VoBo con Vo=(2enV/m)<sup>1/2</sup>, donde Eo es el campo eléctrico, Bo el campo magnético, e la carga del electrón, n y m, el número atómico y la masa del lon, respectivamente. Como un problema de construcción es el máximo campo eléctrico obtenible, se acostumbra expresar esta ecuación como función del campo eléctrico en lugar del magnético.

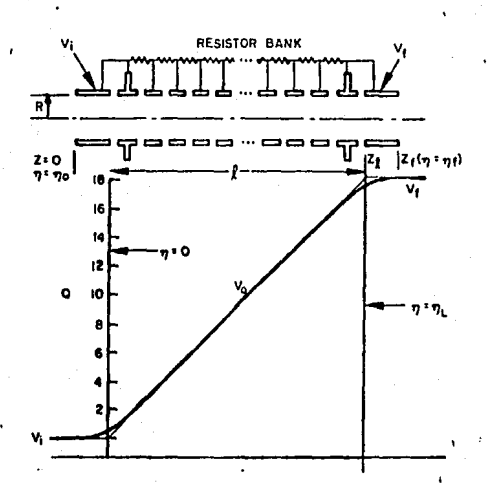
Dispersiones en la velocidad pueden ser producidas voltajes de rizo en las fuentes de voltaje y por la no-uniformidad del campo electrico, que al tener el haz un espesor finito hace que las diferentes partes del haz experimenten diferentes fuerzas eléctricas. La corrección a esto último se puede hacer con un diseño no uniforme de campo marnético en el cual la normal a dichos planos magnéticos forman un ángulo cuyo valor depende de la separación entre los planos magnéticos. Con ésta corrección se logra compensar en parte los efectos de la no uniformidad del la dirección paralela ž) la normal campo (31) con electrostáticos pero la aparición de una componenete perpendicular a estas , lo que crea un compromiso entre los valores de ambos.

Una caracteristica importante que es necesario destacar es el efecto de lente convergente que produce en el haz, con una distancia focal Lf $\cong$  Lm  $\frac{L}{(hL_{\odot})^2}$ .

La forma ideal de un separador de campos cruzados se obtiene de una manera semiempírica, cambiando las dimensiones y la forma de un modelo experimental hasta obtener las características deseadas para un equipo en particular.

# 2.4.2 ACELERADOR ELECTROSTATICO

Un elemento muy importante de la óptica de iones son los aceleradores, encargados de aumentar la energía cinética del haz desde 1 a 20 KeV, que es la energía típica de extracción de las partículas de la fuente.



ligura 2.14 Diagrama de un tubo acelerador electrostático

Esta formado por una o varias etapas aceleradoras, cada una—de las cuales produce un campo axial uniforme a lo largo del tubo, con una región de transición al inicio y al final del tubo. La primera región actúa como lente convergente y la segunda como lente divergente, siendo la primera mayor por un factor que relaciona los voltajes inicial y final, (VI/VI)<sup>1/2</sup>. La distancia focal depende de los potenciales, por lo que se complica mantener un enfoque fijo en el blanco para un intervalo grande de voltajes, lo que se puede solucionar utilizando una lente auxiliar entre el acelerador y la fuente.

El efecto del acelerador sobre el haz de iones puede ser evaluado utilizando un tanque electrostático con modelo a escala, por simulación por computadora o mediante el manejo de la aproximación paraxial, observándose efecto que el de carga espacial limita su longitud. Los potenciales pueden ser expresados la ecuación del potencial entre. analiticamente utilizando placas paralelas infinitas en las cuales existe una perforación a lo largo del eje.

#### 2.4.3 "STIGMATOR"

Es un elemento óptico para corregir defectos de astigmatismo en el haz, defecto que será discutido más adelante. Está formado por cuatro electrodos hiperbólicos ortogonales que producen un efecto convergente y divergente en direcciones perpendiculares del haz, haciendo que un haz de sección transversal eliptica regrese a una forma circular.

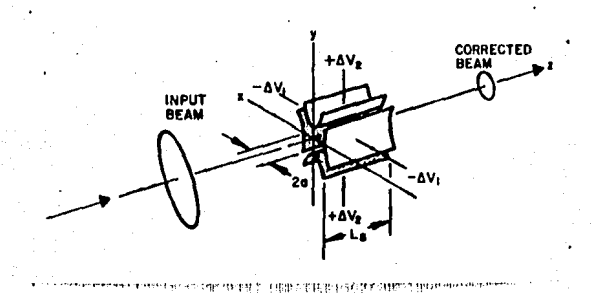


figura 2.14 Diagrama de un "Stigmator"

# 2.5 COMENTARIO FINAL DEL CAPITULO

Una vez que se han revisados los elementos más utilizados en el manejo y conducción de lones, es importante conocer ahora la técnica de análisis PIXE para establecer sus requerimientos experimentales.

Es et acrostico de las siglas en inglés de bai con de flevos à Inducidos por Particulas (Particle induced X-Ray Emission), que es el nombre con el cual se designa a la técnica de análisis de superficies basada en la emisión de rayos-X que produce un átomo — al regresar a su estado base después de haber sido excitado por — medio de una colisión con una partícula.

Es una técnica que puede complementar [24,25] a otros métodos de análisis como RBS (Retrodispersión de Rutherford), AES (Espectroscopía de Electrones Auger), etc., que permite, en principio, obtener perfiles de concentración de una muestra sin destruirla. La cual en los últimos años ha tenido un gran desarrollo gracias en parte a los avances en la tecnología de detectores de estado sólido.

#### 3.1 PRINCIPIOS DE PIXE

Cuando una partícula proveniente de un acelerador, interactúacon un átomo de una muestra, puede producir entre otros fenómenos, la expulsión de un electrón de las capas internas del átomo blanco, dejándolo en un estado excitado.

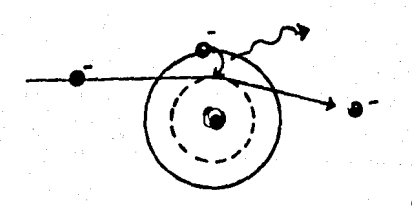


figura 3.1 Diagrama del fenómeno PIXE

Uno de los procesos que puede seguir para regresar a su estado base, es que un electrón de alguna capa superior ocupe esa vacante. El exceso de energía en el átomo es eliminado mediante la emisión de un fotón o de un electrón, las cuals constituye la fuente de información para las técnicas PIXE y AES respectivamente.

La vacante puede ser creada en cualquiera de las capas internas, ya sea por el ion incidente o por un electrón que abandona su lugar para ocupar otra vacante en cualquier otro nivel o subnivel inferior. Los electrones que llenan las vacantes pueden provenir de cualquier otra capa superior a las originalmente vacías, lo que produce una gran variedad de transiciones, con la salvedad de que algunas de estas transiciones son más probables que otras. Gracias a esto podemos clasificarlos utilizando la siguiente notación:

$$\begin{array}{ll}
X \\
yz \\
y \in \{ \alpha, \beta, \gamma, \dots \} \\
z \in \{ 1, 2, 3, \dots \}.
\end{array}$$

En donde X, es la capa donde se produjo la ionización, el subíndice y, indica su probabilidad de ocurrencia, siendo  $\alpha$  más probable que  $\beta$ .  $\beta$  más probable que  $\gamma^1$ , y así sucesivamente y por último el subíndice z, es una subclasificación de los anteriores, ya que al aumentar la resolución de los detectores se descubrió que en los espectros algunos picos se subdividen. —

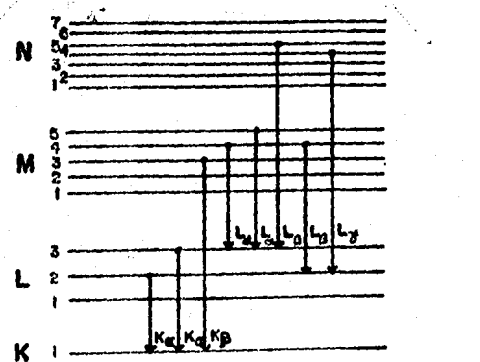


figura 3.2 Diagrama de transiciones de las diferentes capas del diamo.

<sup>1</sup> Existiendo algunas excepciones como por ejemplo la línea Ll.

Las emisiones que se producen con las transiciones a la capa K tienen la característica de ser isotrópicas, a diferencia de las líneas L, debido a la asimetría de ésta capa. Apesar de esto, las transiciones L más importantes pueden ser consideradas como isotrópicas con un error máximo del 2%.

#### 3.2 ANALISIS CUALITATIVO

Las transiciones de los electrones para desexcitar al átomo producen una serie de fotones con diferentes energias y en diferentes proporciones, que en un espectro típico, en la gráfica de energía contra número de fotones, está formado por una serie de picos con diferentes alturas a intervalos irregulares, que corresponden a las energías de emisión de los fotones de la muestra. Cada elemento tiene un espectro característico, lo que es usado para identificar su presencia en una muestra.

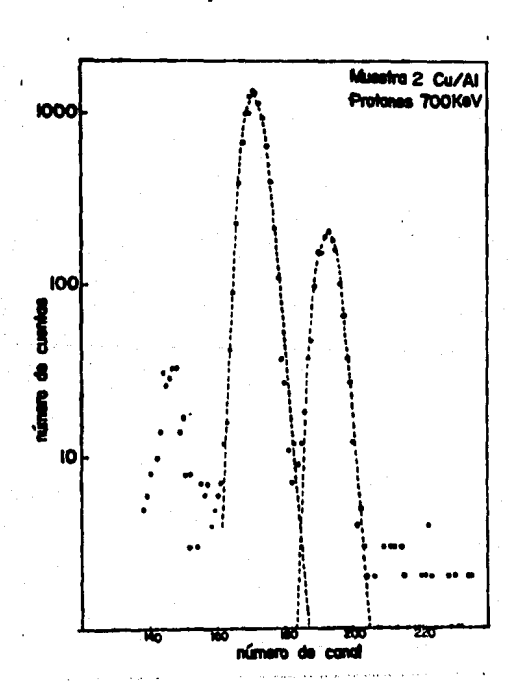


figura 8.3 Espectro de una película de cobro depositada sobre aluminto.

Si la muestra está formada por más de un elemento, la curva que resulta es la suma de los rayos X producidos por cada uno de los elementos que lo forman, dando lugar a un espectro complejo, del cual se puede obtener información sobre la composición de la muestra

Los picos tienen en general una distribución en energia de forma Gaussiana, debido principalmente a procesos asociados al funcionamiento del detector de estado sólido, en donde ocurren fenómenos como la producción de pares y la colección de carga. El relativo de cuentas aue forman cada pico principalmente de la concentración del elemento que lo produce en la muestra. Esto nos permite identificar elementos y la proporción en la que éstos se encuentra en la muestra. Además, la profundidad a la que se encuentre un elemento dentro de la muestra no cambia la posición y forma de sus picos en el espectro de energias, ya que los fotones al atravesar un material, no cambian su energia, sino que solamente disminuven su intensidad de exponencial con respecto a la distancia que tienen que recorrer al atravesar el material.

El número relativo de cuentas que existen en cada pico, no deben tomarse como un dato absoluto sobre la proporción determinado elemento en la muestra, ya que no debem ser olvidada la posibilidad de emisiones secundarias de rayos X, es decir, los rayos X producidos por un átomo pueden ser absorbidos por otro de vez emite sus **fotones** SH diferente elemento. due distor6ionar la informacióncaracterísticos. Lo anterior pueden que se obtiene del espectro dando proporciones equivocadas; pero existen formas de recuperar la información [24].

Puede darse también el caso de que los picos característicos de dos elementos estén muy cercanos uno del otro, los cuales se pueden separar por métodos gráficos, en los que se recuperan el número ma original de cuentas correspondientes a cada pico.—

Normalmente el espectro de energias aparece montado en una señal llamada ruido de fondo, que es producido principalmente por dos fenómenos; el Bremsstrahlung o radiación de frenado de las particulas y electrones secundarios al incidir en la superficie, y por la dispersión Compton de rayos X [26]. Esta radiación es emitida de una manera anisotrópica, siendo menor en la dirección

contraria a la del ion incidente, de ahí la importancia de la posición del detector con respecto al haz de partículas.

#### 3.3 ANALISIS CUANTITATIVO

El número de rayos X detectados que fueron producidos por un elemento de volumen dx dy dz, que se encuentra a una profundidad x de la superfície de la muestra está dado por la siguiente relación:

$$dN = \frac{\Omega}{x} \in \sigma_{\chi}(E(x)) \rho(y,z) \ n(x,y,z) e^{-\mu csc\phi X} \ dx \ dy \ dz$$
 (3.1)

En donde cada uno de los términos significa lo siguiente:

 $\Omega$  es el ángulo sólido subtendido por el detector.

c es la eficiencia del detector.

 $\sigma_{_{\rm X}}$  es la sección eficaz de producción de rayos-X, que es una función de la energia del ion.

ho(y,z) es la distribución espacial de la intensidad del haz. n(x,y,z) es la distribución del elemento de interés en la muestra.

 $e^{-\mu cac\phi x}$  es la absorción de la radiación por las capas externas de la muestra, siendo  $\mu$  el coeficiente de absoción de masa y  $\phi$  el ángulo de detección.

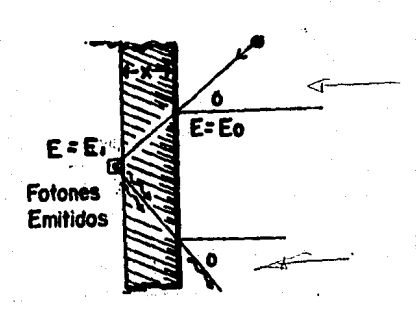


figura 3.4 Esquema de la emisión de radiación por el elemento de volúmen dudydz inmerso en la superficie.

#### 3.3.1 SECCION EFICAZ DE IONIZACION

La sección eficaz de producción de rayos-X está relacionadacon la sección eficaz de ionización para la capa K de la siguiente forma:

$$\sigma_{\mathbf{v}}(\mathbf{E}) = \sigma_{\mathbf{v}}(\mathbf{E}) \omega_{\mathbf{v}} \mathbf{P}_{\mathbf{v}}$$
 (3.2)

donde  $\omega_k$  es la producción de fluorescencia o probabilidad de producir rayos-X y Pi ef intensidad relativa de todas las posibles transiciones que producen radiación en la linea i. Esta relación aumenta en complejidad para las capas L y superiores porque están divididas en subcapas y hay que considerar las posibles transiciones no radiativas entre éstas y las provenientes de capas superiores. Así, por ejemplo para las lineas L $\omega$ , L $\rho$ , L $\gamma$  y LL sus secciones eficaces están dadas por:

$$\sigma_{x,L_{\alpha}} = (\sigma_{L_{1}} f_{13} + \sigma_{L_{1}} f_{12} f_{23} + \sigma_{L_{2}} f_{23} + \sigma_{L_{3}}) \omega_{3} F_{3\alpha} i$$

$$\sigma_{x,L_{\alpha}} = \sigma_{L_{1}} \omega_{1} f_{1\beta} + (\sigma_{L_{1}} f_{12} + \sigma_{L_{3}}) \omega_{2} F_{2\beta} + (\sigma_{L_{1}} f_{13} + \sigma_{L_{1}} f_{12} f_{23} + \sigma_{L_{2}}) \omega_{3} F_{3\beta} i ;$$

$$\sigma_{x,L_{\gamma}} = \sigma_{L_{1}} \omega_{1} F_{1\gamma} + (\sigma_{L_{1}} f_{12} + \sigma_{L_{2}}) \omega_{2} F_{2\beta} i + (3.3b)$$

$$\sigma_{x,L_{\gamma}} = (\sigma_{L_{1}} f_{13} + \sigma_{L_{1}} f_{12} f_{23} + \sigma_{L_{1}} f_{23} + \sigma_{L_{1}}) \omega_{3} F_{3\beta} i .$$

$$\sigma_{x,L_{\gamma}} = (\sigma_{L_{1}} f_{13} + \sigma_{L_{1}} f_{12} f_{23} + \sigma_{L_{1}} f_{23} + \sigma_{L_{1}}) \omega_{3} F_{3\beta} i .$$

$$\sigma_{x,L_{\gamma}} = (\sigma_{L_{1}} f_{13} + \sigma_{L_{1}} f_{12} f_{23} + \sigma_{L_{1}} f_{23} + \sigma_{L_{1}}) \omega_{3} F_{3\beta} i .$$

$$\sigma_{x,L_{\gamma}} = (\sigma_{L_{1}} f_{13} + \sigma_{L_{1}} f_{12} f_{23} + \sigma_{L_{1}} f_{23} + \sigma_{L_{1}}) \omega_{3} F_{3\beta} i .$$

$$\sigma_{x,L_{\gamma}} = (\sigma_{L_{1}} f_{13} + \sigma_{L_{1}} f_{12} f_{23} + \sigma_{L_{1}} f_{23} +$$

Donde las  $\sigma_{\rm Li}$  son las secciones de ionización de las subcapas i,  $\omega_{\rm L}$  son las fluorescencias, fij la probabilidad de una transición no radiativa de la capa j a la i,  $F_{\rm NX}$  es la probabilidad de que ocurra una transición radiativa, tomada como la fracción de rayos X originados por una vacante en la subcapa  $L_{\rm N}$ , y que contibuya a la linea  $L_{\rm X}$ .

En ciertas ocasones se puede definir una fluorescencia promedio y utilizar una intensidad relativa de la linea i como en el caso de la capa K, pudiédose escribir:

$$v_{\parallel} = \sigma_{\parallel} \overline{\omega} P$$
 (3.4)

con  $\sigma_{\rm I,L}$  como la sección eficaz de ionización total de la capa L. Pi la intensidad relativa y  $\omega_{\rm l}$  la fluorescencia promedio. —

La forma analítica de la sección eficaz de ionización es el resultado de desarrollos teóricos que pueden hacerse utilizando el modelo cuántico o por aproximaciones clásicas. Los más importanes son la aproximación de onda plana de Bohr (PWBA), la aproximación semiclásica (SCA), la aproximación de encuentro binario (BEA) y PWBA con corrección por perdida de energía, deflexión coulombiana, efectos relativistas y perturbación de estados estacionarios ECPSSR (26).

La teoría ECPSSR desarrollada por Brandt et al.(26) es una mejora a la PWBA y SCA porque toma en cuenta efectos de pérdida de y la deflexión coulombiana del proyectil en energia (E) coligión (C), el aumento en la energía de ligadura del electrón expulsado por la presencia del proyectil que es estudiada con de estados estacionarios perturbados (PSS), teoria activo(R) [26]. descripción relativista del electrón concordancia que se ha encontrado entre la esta teoría y los datos experimentales es mayor a un 90%.

La sección eficaz de ionización es una función de la energia de la partícula al atravesar el material. Está relacionada al poder de frenamiento através de la siguiente ecuación:

$$E(x) = E_{o} + \int \frac{dE}{dx} dx$$
 (3.5)

para la que es necesario conocer el poder de frenamiento. El cual puede ser encontrado en tablas, en ajustes polinomiales o por medio de ecuaciones semiempiricas [16,17,44].

# 3.3.2 ABSORCION DE RADIACION EN LA MUESTRA

Los rayos-X al atravesar cualquier material son absorbidos, — disminuyendo su intensidad de una manera exponencial que corresponde a la siguiente relación:

$$I=I_0e^{-\mu x} \tag{3.6}$$

con  $I_0$  intensidad inicial, x la distancia recorrida por los fotones dentro del material y  $\mu$  el coeficiente de atenuación.

Esta atenuación está relacionada con los efectos de la interacción de los rayos-X con el material a través de fenómenos como el efécto foto-eléctrico, Compton y fluorescencia secundaria.

$$\mu = (\sigma + \sigma + \sigma) \theta$$
 (3.7)

donde G es una constante relacionada con el número de átomos que pueden interactuar con los rayos-X, y las os son las diferentes secciones eficaces de los efectos foto-eléctrico, Compton y fluorescencia secundaria, respectivamente.

En el caso de que la muestra estuviera formada por varios elementos, entonces el coeficiente de atenuación del material es un promedio pesado de los coeficientes de cada elemento presente en la muestra.

La atenuación de rayos-X está tomada en cuenta por la ecuación (3.1) con el término e<sup>-µcecex</sup>, en donde se considera que parte de los rayos-X producidos en la muestra son absorbidos por las capas exteriores antes de llegar a la superficie, disminuyendo su intensidad.

#### 3.3.3 TOTAL DE FOTONES EMITIDOS

El número total de fotones emitidos do una línea en particular puede escribirse, a partir de la ecuación (3.1):

$$N = \frac{\Omega}{4 \pi} \varepsilon \int \sigma_{x}(E(x)) \rho(y,z) n(x,y,z) e^{-\mu c \pi c \sigma X} dx dy dz$$
 (3.8)

Esta ecuación puede ser simplificada si se suponen que tanto el haz de particulas como la concentración de elementos en la superficie son uniformes en el plano 3-5 pudiéndose escribir como:

$$N_{x}=B \int_{0}^{Z_{max}} \sigma_{x}(E(x)) n(x) e^{-\mu \csc x} dx$$
 (3.9)

con B, una constante que depende de la eficiencia del detector y del ángulo sólido que éste presenta con respecto a la muestra.

#### 3.4 PROPIEDADES DEL ANALISIS PIXE

Se han mencionado ya las bases en las cuales se funda el análisis PIXE, y es claro que promete ser una técnica confiable. complementaria a las ya existentes como RBS (retrodispersion de Rutherford), AES (Espectroscopia de electrones Auger) y SIMS (Espectroscopia de masa de iones secundarios).

Con RBS se pueden estudiar muestras constituidas por elementos pesados inmersos en matrices de elementos ligeros con excelentes resultados, AES y SIMS pueden dar información principalmente sobre elementos ligeros, teniendo una buena definición en profundidad, con la salvedad de que esta última es destructiva. Las ventajas que presenta PIXE son su posibilidad para realizar análisis multielemental para elementos con número

atómico mayor igual a 10, con bajo ruido y sin destruicción de la muestra.

El problema con PIXE es que no se ha determinado su confiabilidad en la obtención de perfiles de concentración, por la falta de un conocimiento pleno de su alcance en profundidad. Los estudios actuales proponen la efectividad de PIXE con protones de bajas energías, menores a 1 MeV, región para la cual aumenta el poder de frenamiento, y la sección eficaz de ionización varia considerablemente más rápido con cambios pequeños en la energía [41,42].

Por eso es importante en este experimento cuantificar qué resolución se puede alcanzar con PIXE en la medición de espesores producidos por erosión iónica controlada.

# GAPITULO CUARTO DESARROLLO EXPERIMENTAL

Paris la realización del experimento 36 utilizaron instalaciones del Instituto de Física de U.N.A.M. o1 laboratorio dei acelerador Van de Graaft 0.7 de MeV. Los accesorios no existentes fueron diseñados y construidos talleres del propio instituto.

#### 4.1 DISPOSITIVO EXPERIMENTAL

El dispositivo experimental utilizado en el experimento es el que aparece dibujado en la figura 4.1, en donde se han esquematizado las partes más sobresalientes del sistema, como son:

- 1) Acelerador Van de Graaff.
- 2) Analizador de partículas.
- 3) Cámara de dispersión.
- 4) Sistemas de Vacto.
- 5) Sistemas de detección.

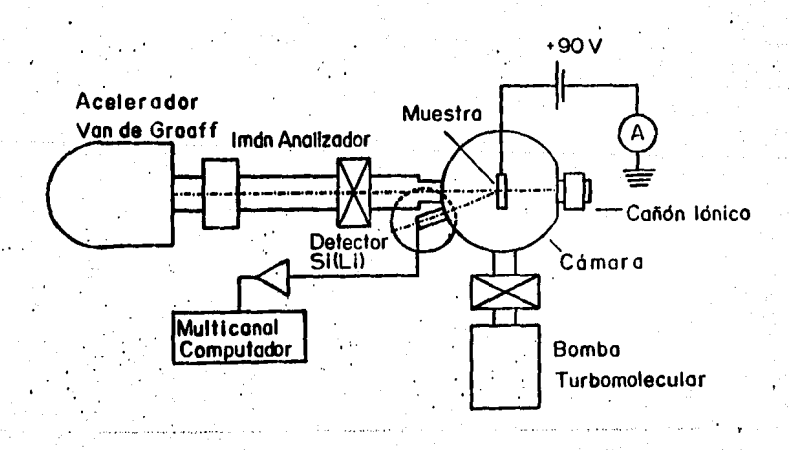


figura 4.1 Esquema del dispositivo experimentat

# 4.4.1 ACELERADOR ELECTROSTATICO DE PARTICULAS

Para producir el haz de partículas ionizadas utilizado en el análists PIXE, se utilizó un acelerador Van de Graaff, modelo ANS-700 l'abricado por la compañía High Voltuge Engineering Corp., el cual es capaz de producir jones con energias que van desde 100 hasta 700 KeV, pudiéndose llegar a 1 MeV sin complicaciones técnicas en situaciones extraordinarias.

Los lones en el acelerador son producidos por una fuente de iones de radio frecuencia. La RF se aplica a un par de electrodos en una cámara de ionización fabricada en cuarzo, atravegada por un campo magnético fijo producido por cuatro imanes cilindricos que rodean a la cámara. Esta fuente está diseñada para trabajar principalmente con Hidrógeno (H, H<sub>2</sub>) y con Helio (He), aunque en principio se puede utilizar cualquier otro tipo de gases.

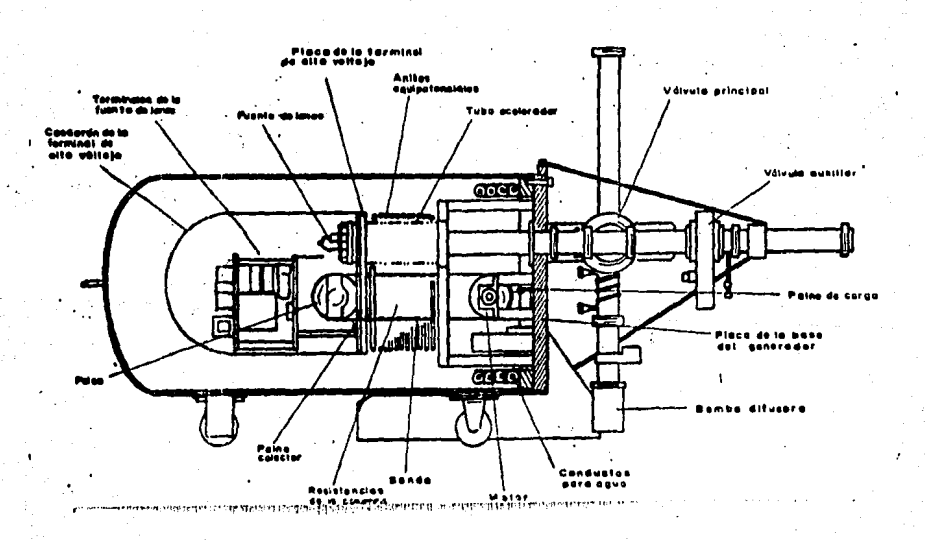


figura 4.2 Diagrama del acolorador Van do Graaff de 700 KeV.

La aceleración de las partículas ionizadas se logra gracias a la diferencia de potencial que existe entre sus terminales, que es producida por la acumulación de carga en una de ellas. La carga se lleva ahí por medio del acarreo mecánico que proporciona una banda de material aislante que gira entre un par de poleas. La banda arrastra las cargas que le suministra una fuente de alto voltaje C20KV) por medio de un peine de carga. La carga asi recogida por la banda es depositada en la terminal de alto voltaje, separada de la terminal referida a tierra por un juego de resistencias de alta impedancia.

La terminal de alto voltaje alberga en su interior la iones v la electrónica asociada al mane io producción de iones, es decir, tipos, cantidad y enfoque inicial. Esta región se encuentra totalmente aislada y es alimentada por la นเร corriente producida por generador de corriente alterna la polea de la banda. Este generador incorporado a produce corriente alterna con una frecuencia de 400 Hz, con la única finalidad de reducir el tamaño de los elementos inductivos uue forman parte de los circuitos.

La medición del voltaje entre las terminales se realiza utilizando เเก vólmetro generador [37]. que manda pulsos altura al volta je entre las terminales. La proporcionales en logra mediante un circuito retroalimentado. estabilidad se corrige desviaciones detectadas en las descargas de las puntas de corona.

Las terminales de alto voltaje se encuentran inmersas en una atmósfera de Hexafloruro de Azufre, material con excelentes propiedades dieléctricas. Gracias a esto las dimensiones del acelerador son relativamente reducidas.

# 4.1.2 ANALIZADOR DE PARTICULAS

La selección de las partículas producidas por el acelerador se hizo por medio de un separador de masos del tipo de segmento magnético, que fue diseñado y construido originalmente para desviar protones con energías del orden de 2 MeV, lo que le da mayor versatilidad al trabajar con haces de partículas de hasta 700 KeV ya que permite el uso de iones mas pesados.

La calibración del analizador se realiza aprovechando las Frecuencias de oscilación del hidrógeno sometido a un campo magnético, que se hace resonar con un campo variable producido por una bobina por la cual pasa una corriente alterna de frecuencia conocida. El hidrógeno está contenido junto con la bobina que lo rodea, en una cápsula de acrilico que es introducida en el interior del analizador. Una forma auxiliar que también sirve para calibrar el poder deflector del magneto, es utilizando reacciones nucleares, las cuales ocurren a energías muy específicas dependiendo del proyectil y del blanco escogido. Un ejemplo de esto es la reacción  $^{19}F(p,q\gamma)^{16}O$ , la cual ocurre con una alta probabilidad a una energía de 340 KeV, emitiendo fotones con una energía de 6.14 MeV [46].

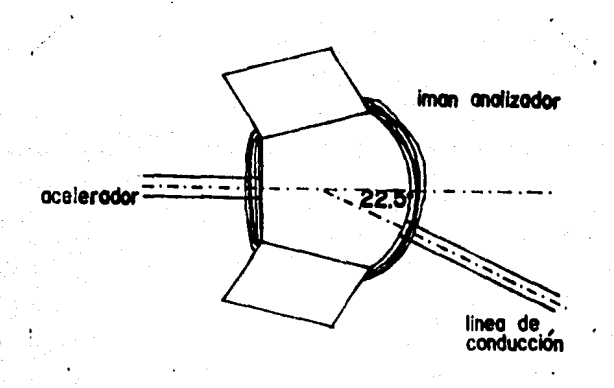


figura 4.3 Esquema del deflector de partículas

El analizador puede desviar a las partículas provenientes del acelerador a cualquiera de cuatro salidas, en partícular, se utilizó la que forma 22.5° con respecto a la dirección original del haz que es la que conduce hacia la cámara de dispersión.

La tabla de calibración para desviar un haz de protones a la linea que forma 22.5 es la siguiente:

Energia (KeV)	Frecuencia (KHz)	Gampo B <sup>®</sup> CB⊃	Desviación
400	3062	7192.6	22.5
500	3433	9064.1	
600	3746	8790 <sub>.</sub> 4	Proyectil
700	4641	10901.7	u

<sup>\$</sup> B = kV; k=2849 KGauss/MHz valor estimado experimentalmente.

#### 4.4.3 LINEA DE CONDUCCION

El haz de iones después de ser desviado por el analizador, es dirigido a la cámara de dispersion por medio de la linea de conducción.

Dicha linea está formada por varias secciones de tubo que se interconectan con otros accesorios, entre los cuales están la trampa de nitrógeno líquido, el sensor de retroalimentación del acelerador, válvulas electro-neumáticas y una bomba turbo-molecular. La distribución de estos elementos puede verse en la rigura 4.4. La línea está construida en acero inoxidable, con una longitud aproximada de 3 m y un diámetro de 0.06 m. Las uniones entre componentes se hace por medio de sellos de aluminio tipo "Comflat" de Varian.

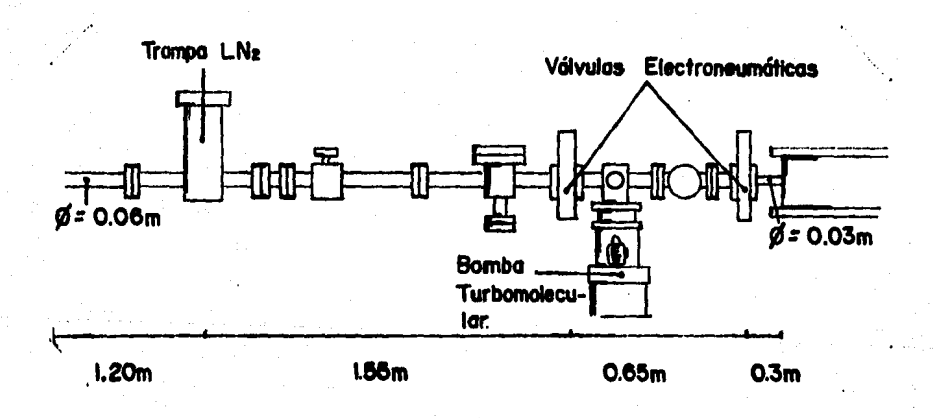


figura 4.4 diagrama de la linea de conducción

La trampa de nitrógeno liquido tiene como función condensar y atrapar gases extraños de la línea de conducción que pudieran ser ionizados o acarreadas por el haz de protones.

La bomba de vacio es una bomba turbomolecular de  $0.725 \mathrm{KHz}$  con una velocidad de bombeo de 110 L/s modelo TPU110 acoplada a una bomba mecanica modelo DU01.5A que evacua  $1.5 \mathrm{m}^3/\mathrm{hr}$ . Ambas bombas tueron fabricadas por la compañía Pfeiffer.

Las válvulas electro-neumáticas permiten aislar la cámara de dispersión de la linea y mantener un bombeo mas lento, en caso de ser necesario, con la bomba turbomolecular de 110 l/s. Ambas válvulas son automáticas, y en caso de falla eléctrica cierran y evitan la entrada de gases a la cámara manteniendola limpia.

#### 4.1.4 CAMARA DE DISPERSION

Es una cámara circular con entradas multiples, diseñada especialmente para realizar análisis PIXE (40). Está rodeada por 9 ventanas colocadas a lo largo de la pared lateral en las cuales fue instalado el equipo de detección, medición de vacto y bombeo.

El eje de la boca de la cámara destinada para el detector de Silicio-Lítio (SILI) forma un ángulo de 20° con la dirección de incidencia del haz de partículas provenientes del acelerador Van de Graaff. Esta entrada penetra en la cámara, lo que permite que el detector pueda acercarse a una distancia de 9 cm del blanco.

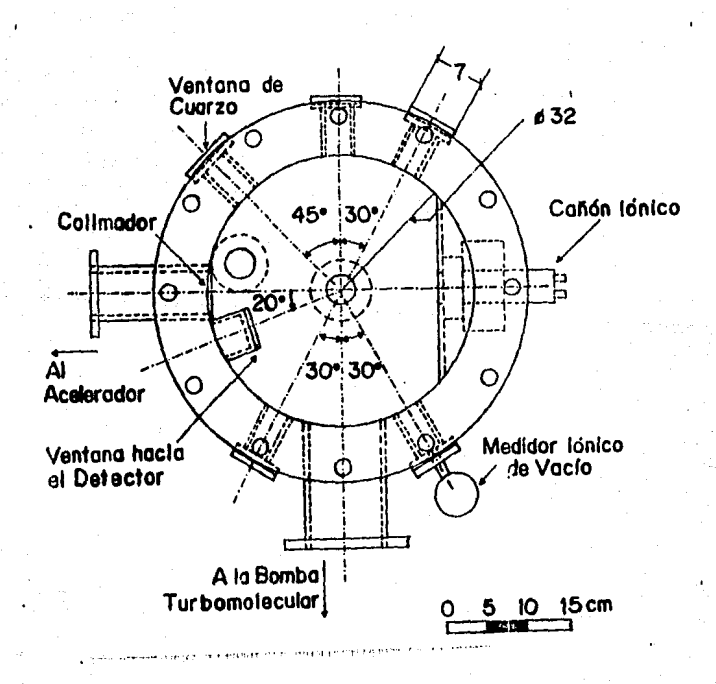


figura 4.5 Vista superior de la camara de dispersión

El portamuestras de la câmara está formado por un prisma cuadrangular de aluminio, que está montado en un goniómetro que está graduado en grados sexagesimales, con una precisión al medir angulos de ±0.05°. Está aislado electricamente de la camara por un conector de nylon, lo que permite colectar ta portamuestras conectandolo directamente al. integrador corriente. Su eje principal es horizontal y forma un ángulo de 90° con la dirección del haz de protones, con lo que direccionar la muestra hacia el haz de protones o hacia el haz de iones besados.

En la salida que forma 120° con el eje principal se encuentra uno de los medidores de vacio, del tipo de ionización de Bayard-Alpert, modelo RG 1000 de Veeco Instrumentation Inc., el cual puede medir vacios a partir de 10<sup>-3</sup> Torr, región en la que la corriente entre sus electrodos es proporcional a la presión en la que se encuentra 1381. Este medidor es el que se usó para obtener una medida indirecta de la presión de gas de alimentación del cañon de iones.

En la salida mayor, a 90° del eje principal, se conecta la bomba de vacio. Esta es una bomba turbomolecular marca Pfeiffer, modelo TPU-270, con una capacidad de extracción de 270 lts/s, a una frecuencia de giro de su turbina de 1KHz, que es auxiliada por una bomba mecánica Pfeiffer modelo Duo12A con una velocidad de vacio de 12m³/h. Ambas bombas se encuentran separadas de la cámara por una compuerta electroneumática semiautomática. Gracias al tipo de bombas utilizadas, el vacio que se puede obtener en la cámara es rápido y limpio, a diferencia de lo que habria ocurrido si se hubieran usado bombas difusoras.

A la entrada del haz, se encuentra colocado un disco de acero con un orificio circular de 3mm de diámetro, que tiene como función colimar el haz de protones, y que además sirvio para disminuir la velocidad de bombeo en la cámara cuando éste era realizado por la bomba que se encuentra en la línea, debido a la resistencia que presenta 1281.

# 4.1.5 SISTEMAS DE DETECCION

Los rayos-X producidos en la muestra son captados por un detector de estado sólido de silicio-litio, que está constituido

por un cristal de sílicio contaminado con impurezas de litio, que al ser atravesado por un haz de fotones, produce pares electron-ion dentro de la red cristalina [35], que son colectados y cuantificados electrónicamente por medio de un preamplificador, un amplificador y analizador multicanal.

cristal es mantenido a la temperatura del nitróreno liquido junto con el FET del preamplificador para evitar que las impurezas de litio se difundan a lo largo del cristal, y para disminuir el ruido térmico en la etapa pre-amplificadora, respectivamente. La temperatura es mantenida cracias recipiente térmico de tipo Dewar, que contiene nitrógeno ilquido conectado térmicamente al cristal y al FET.

El cristal del detector debe tener un espesor tal, que al atravesario los fotones sean absorbidos en su totalidad. Esto en la práctica es imposible ya que la absorción depende de la energía de los fotones, con lo que solo se puede asegurar la máxima absorción para fotones que tengan energías dentro de un intervalo finito.

Tanto el uristal como el FET se encuentran contenidos en un DOP e1due recipiente sellado at vacto. En eΙ extremo ventana circular de berilio. recibidos los fotones t.lene una poca absorción de rayos\*X. ligero de elemento D11157 57 extremadamente frágil v muy venenoso.

Para que los fotones de rayos-X producidos en la muestra puedan alcanzar al cristal, deben atravesar varias capas, primero que aista a la camara del exterior. la una de mylar, que es Despues la ventana de berilio, seguida por una película de oro, que es la que hace el contacto eléctrico con el cristal, y por zona muerta creada cuando el cristal es polarizado la inversamente 1351. Cada una de estas capas disminuye la intensidad del haz de fotones incidentes con la consiguiente alteración en la información final y limitando la cota inferior del intervalo de energias de los fotones detectables. Es también frecuente que se forme una pequeña capa de hielo enfrente de la película de oro, que con el tiempo aumenta su espesor y que puede ser importante ai evaluar los resultados.

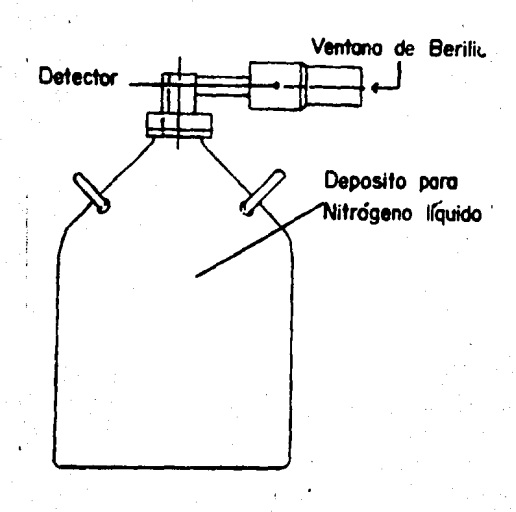


figura 4.6 esquema del detector SicLip

Todas estas características son consideradas en un parametro liamado eficiencia, que esta definido como la razón del número de fotones registrados sobre el número de fotones que llegó al detector. Esta eficiencia es una función de la energia de los iones incidentes y tipicamente tiene la forma que aparece en la figura 4.7.

obtención curva es el resultado un La de esta y su forma final depende del procedimiento laborioso sistema experimental del que se trate es decir, la posición y tiempo de vida que tiene el detector funcionando. En el sistema utilizado se obtavo una efficiencia  $s = 1.13 \times 10^{-4}$  Torr 2 6% para vayos y de 14.41 KeV 1401.

En este experimento en particular se utilize un detector ORTEG de SIGLO modelo 7113-061656, adquirido el año de 1976, con un cristal de silicio en forma climdrica cuyas dimensiones son: diámetro 6.0mm y espesor 5.0mm. La ventana de beritio tiene un espesor de 0.0125mm, la película de oro de 200  $\hat{A}$  y la capa muerta de  $\sim 0.1 \mu m$ . Su voltaje de polarización inversa en el cristal es de  $\sim 15000$ V en condiciones de operación normales.

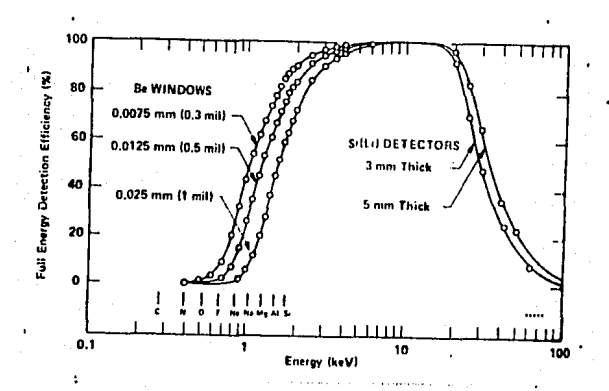


figura 4.7 gráfica típica de la oficiencia del detector como función de la energía.

detector cuando fue adquirido (1973) presentaba resolución de 200 eΥ 6.4 KeV, y su intervalo de operación incluia fotones con energias de 60 KeV £361. **Estas** caracteristicas han cambiado, por lo que actualmente se una nueva calibración.

Para procesar la señal producida por el detector se pre-amplificador criogénico de bajo ruido ORTEC 7016-10230. El cual amplifica y da forma al pulso producido por el para aue la señal pueda ser amplificada amplificador ORTEC modelo 450, además de servir como puente en el acoplamiento de impedancias [39]. El amplificador fue bajo la siguiente parametrización:

Ganancia 25.5.

Tiempo de formación de puiso 1µs.

Tipo de polarización de pulso negativa.

La señal procesada por el amplificador es recibida y analizada por una tarjeta microcontroladora marca ORTEC ADCAM MCA. Natibal es en si un analizador multicanal construido a partir del microprocesador Z-80A que presenta un tiempo muerto fijo que equivale al tiempo de la conversión analogica-digital. La tarjeta puede ser instalada a cualquier micro-computadora PC compatible, y trabaja de manera independiente, de forma tal que puede estar

trabajando simultaneamente con la computadora en tareas diferentes.

Cuando es conectado a un detector de silicio-litio para espectroscopia de Rayos-X, tiene una resolución de 180 eV.

# 4.2 CAÑON DE TONES

#### 4.2.1 CARACTERISTICAS

Es un cañon de aplicación multiple para el estudio de superficies y preparación de muestras fabricado por V6 Scientific modelo A62. Está diseñado para producir iones de gases nobles, principalmente de argón, con energias que pueden variar entre 1 KeV y 10 KeV con densidades de corriente del orden de 250  $\mu$ A/cm². Densidad upon puede ser modificada cambiando las condiciones de operación, como son la energía, la presión del gas y el voltaje de enfoque en la lente.

Está formado por una fuente de impacto electrónico de cátodo frio con extracción axial y una lente electrostática de tipo Einzel. La fuente está confinada en un campo magnético paralelo a su eje principal, producido por un electro-imán por el que circula una corriente fija, necesario para producir un plasma estable [38].

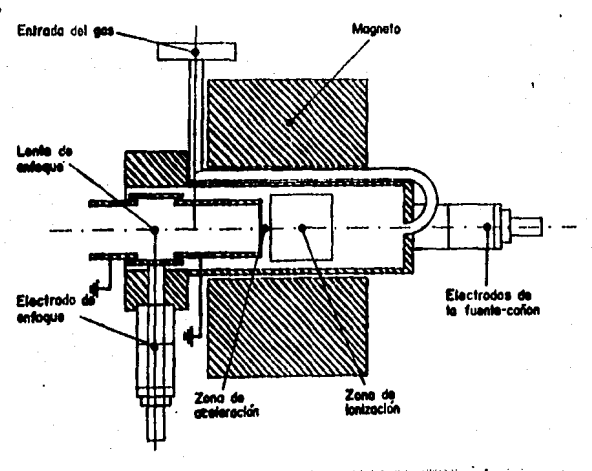


figura 4.8 diagrama do las partes dot cafión de ionos

El l'Iujo de gas es controlado por una valvula de aguja de alta precisión que permite mantener la presión estable con variaciones hasta de  $0.1 \times 10^{-5}$ Torr $^{1}$  en la cámara.

#### 4.2.2 FUNCIONAMIENTO

El gas invectado en la cámara es ionizado y forma un plasma cuya distribución espacial depende de la presión de gas en la fuente. Si la presión es del orden de 3 x 10<sup>-4</sup> Torr, el plasma se concentra en la región interior del ánodo, pero si es de 6 x 10<sup>-4</sup> Torr se distribuye en el espacio entre los electrodos. Si la presión aumenta mas allá de 9 x 10<sup>-4</sup> Torr, se produce un rompimiento dieléctrico con la subsecuente caída de voltaje en la fuente. Esto puede ser observado por las diferentes formas que toma la mancha del haz en el blanco, ya que al invadir el plasma las regiones externas al ánodo produce efectos de aberración óptica en el haz.

Los iones producidos en el plasma son acelerados hacia la abertura de salida, pero también parte de ellos escapan por el orificio de entrada del gas produciendo depósitos en los tubos aislantes y con esto fugas de corriente que ponen en corto a las fuentes de alimentación.

La variabilidad en la forma del plasma puede hacer que los iones saigan de él con trayectorias convergentes o divergentes segun sea el potencial acelerador. Esto es corregido, al menos en parte, por la lente Einzel, que tiene la propiedad de cambiar las características focales del haz sin cambiar su energia, lo que nos pormite seleccionar su diámetro.

# 4.2.3 MONTA JE Y CARACTERIZACION

A pesar de que en el diseño de la camara de dispersión ya se había pensado en la instalación de un cañon de iones pesados, fue necesario construir algunos accesorios como soportes y conectores para poderio colocar seguramente en su sitio. El cañon se localiza — en la boca que forma cero grados con la dirección del haz de protones, justo enfrente de la salida de este.

1 Todas las presiones son el valor medide en la cámara en la cual está mentado el callen. El suporte se fabricó en aluminio y hule espuma, materiales ligeros y capaces de soportar el peso del electrolmán del cañon sin deformarse. Los conectores se hicieron de acero y laton, segun se adaptaran al cañon o al tanque de gas respectivamente.

Antes de ser instalado, el cañon fue desarmado y limpiado con ultrasonido en una solución de agua con acetona. Un diagrama de sus partes principales es el que aparece en la ligura 4.8. Una mayor información puede ser encontrada en el apendice 5.

Una vez limpio, se armó y se instaló en la cámara de dispersión, y la primer tarea fue buscar posibles fugas de vacto. Las que fueron corregidas con facilidad al aumentar la presión de los tornillos sujetadores. Una vez hecho esto se conectaron los electrodos de la fuente de voltaje, que fuera previamente revisada y ajustada para trabajar a (25V, y se iniciaron las pruebas de funcionamiento y caracterización.

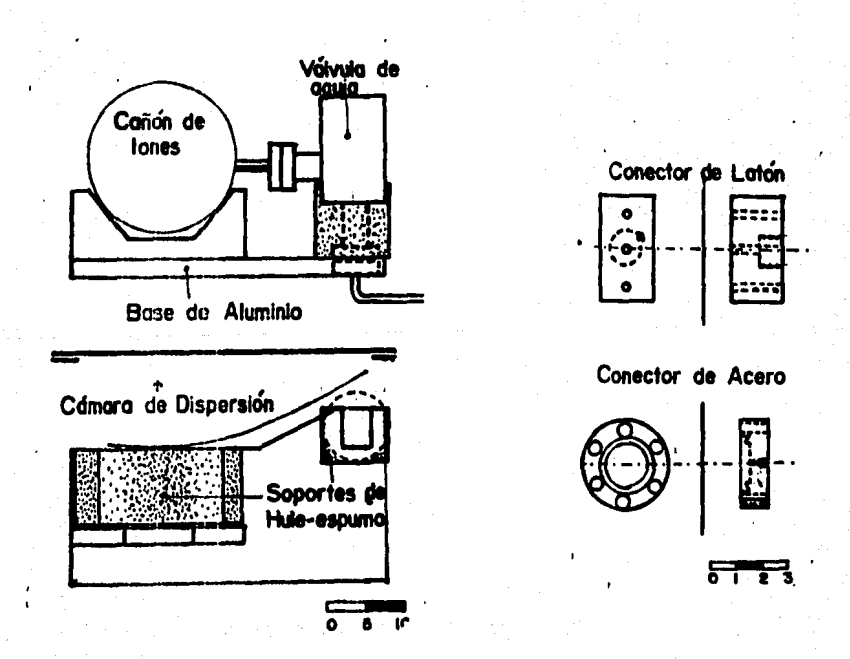


figura 4.9 Diagrama del montajo del calfon de iones.

Para encender el cañón es necesario que la camara de dispersion se encuentre a un vacto inicial de  $\cong 10^{-4} {
m Torr}$  y que la velocidad de bombeo sea relativamente lenta, para dar oportunidad a la formación del plasma y para que no existan rompimientos dieléctricos que causen caldas de voltaje.

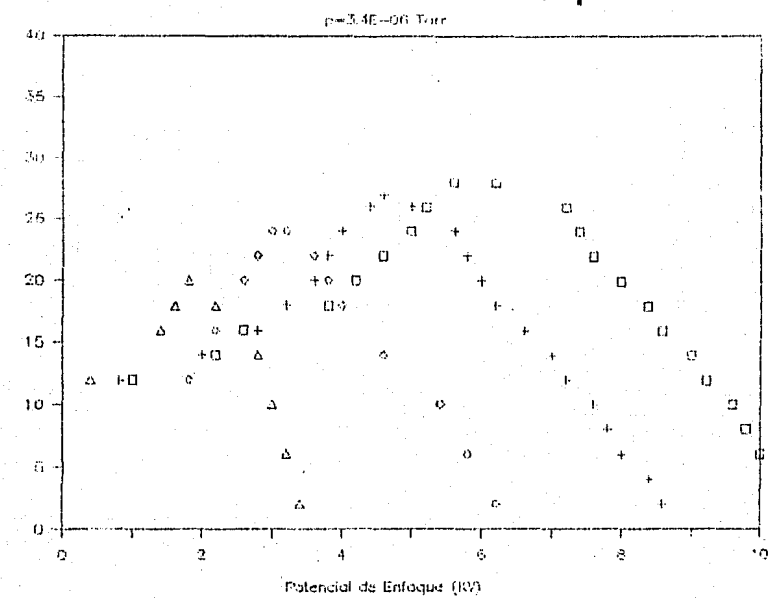
La velocidad de bombeo apropiada se obtuvo utilizando la bomba turbomolecular TPU110 que se encuentra instalada en la linea de conducción (figura 4.4), recordando que a la entrada hacia la cámara de dispersión existe un colimador circular con 3mm de diámetro, lo que disminuye la velocidad de bombeo efectiva en la cámara. Los mejores resultados en la obtención de vacio se obtuvieron utilizando primero la bomba TPU270, y al llegar a un vacio del orden de  $\cong 10^{-6}$ Torr se realiza un cambió de bombas por medio de las compuertas electroneumáticas, dejando funcionando solamente a la bomba TPU110. Al cabo de unos minutos la presión se estabiliza, quedando del orden deseado  $\cong 10^{-4}$  Torr, tardándose aproximadamente i hora.

Al iniciar la caracterización del cañón se descubrió que presión en el interior de la cámara no solo depende de la velocidad a la que es suministrado el gas en el cañon, sino también de los potenciales de enfoque y energia. Ya que estos regulan el flujo de particulas que forman el haz de lones, y por tanto el numero de particulas que entran a la camara. Asi que fue necesario establecer un protocolo para determinar la inicial, y esto se hizo primeramente, colocando los medidores de enfoque y do energia a S KV, y después tentamente abriendo la valvula de aguja hasta llegar a la presión deseada, dejándola estabilizarse entre cada cambio un promedio de 10 minutos.

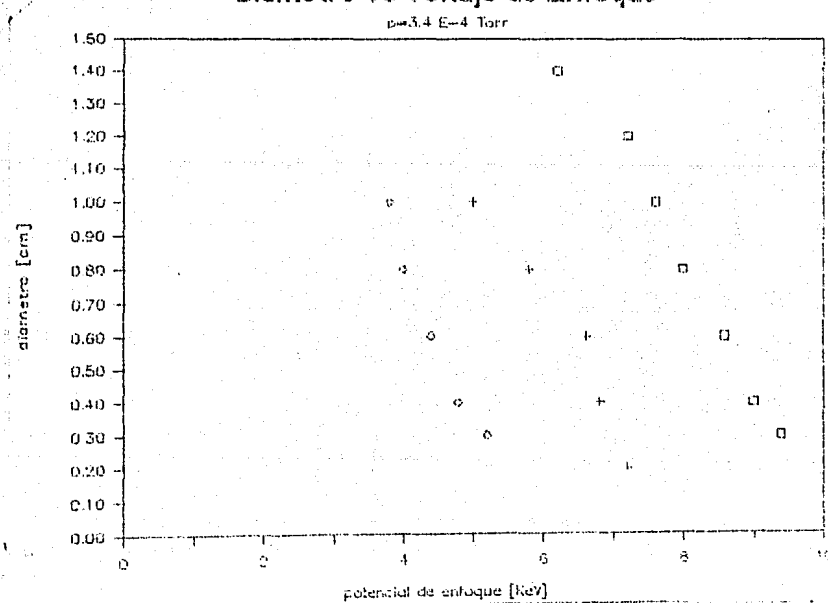
La existencia del plasma y por consiguiente del haz, puede ser verificada por medio de la corriente colectada en el blanco, aunque en algunos casos es posible observarlo directamente por medio de las ventanas de cuarzo de la cámara.

Se observo que la corriente en el blanco depende de su posición debido a la emision de electrones secundarios, problema que fue resuelto polarizando el blanco a un potencial de +90V con una pila seca.

## Corriente vs Potencial de Enfoque



## Diametro va Voltaje de Enfoque



ligura 4.10 gráficas do caracterización del cañón de ion cuando se trabajó con una presión de 3.6 E-U6.Tott. Bajo estas condiciones se obtuvieron los resultados que aparecen en las gráficas que caracterizan el funcionamiento del callón. En estas se pueden observar las curvas que relacionan la corriente y el potencial de enfoque a una energía determinada (figura 4.11).

Para determinar la densidad de corriente, se colocó una escala graduada en mm, hecha en un vidrio delgado y esmerilado.

Con ella se midió el diametro del haz de argón cuando fue — opticamente posible.

Debido a que el haz de lones pesados tiene una ligera desviación hacia arriba con respecto al haz de protones, fue necesario construir un deflector electrostático de placas paralelas, al cual se le puede ajustar el voltaje desde una fuente externa y así hacer conincidir ambos haces. Esto fue verificado utilizando papel filtro para marcar la región de impacto de ambos haces de iones.

#### 4.3 EVAPORACION DE MUESTRAS

Las muestras que se utilizaron en el experimento estaban formadas por una película de cobre (Cu) sobre un substrato de aluminio (Al). Se escogió esta combinación porque las líneas de emisión del aluminio no producen emisiones secundarias del cobre.

Su preparación se llevó a cabo mediante el uso de método de evaporación, consistente en la evaporación del material de interés por medio del calentamiento producido por una resistencia eléctrica de material refractario, que se deposita en un substrato grueso, todo inmerso en una atmósfera limpia (p≅10<sup>-6</sup>Torr), para evitar al máximo las impurezas.

La contidad de cobre evaporada fue de 260±1 mg, con una pureza de 99.9%. El filamento estaba elaborado con alambre de Tungsteno dobiado en forma de canastilla, como puede observarse en el diagrama. El vacto con el que se evaporaron las muestras fue de 10<sup>-6</sup>Torr y se realizo mediante el uso de una bomba de difusión auxiliada por una mecánica.

Los substratos (10) de aluminio fueron colocados sobre un vidrio a 13cm abajo del filamento, con la finalidad de poder

evaluar el esposor de la pelicula midiendo con un Dek-Tak 1271 el ancho del cobre depositado en el vidrio. Gada substrato estaba formado por placas de aproximadamente i cm² de aluminio industrial laminado, que previamente fue pulido mecanicamente y limpiado con ultra-sonido en una solución de acetona con agua. El esposor obtenido $^{*}$ Tue de 950 $^{\circ}$ , dato que servira para evaluar los resultados del metodo PIXE.  $^{*}$  U  $^{\circ}$  Cl  $^{\circ}$   $^{\circ}$   $^{\circ}$  Cl  $^{\circ}$   $^{\circ}$   $^{\circ}$   $^{\circ}$   $^{\circ}$  del metodo PIXE.

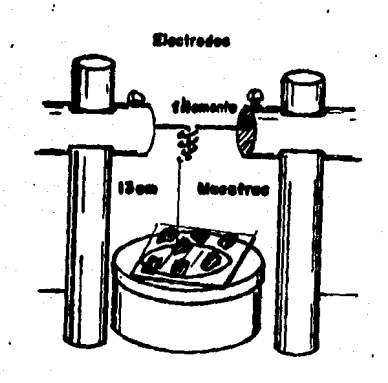


figura 4.10 Diagrama de sistema de evaporación

#### 4.4 PROCEDIMIENTO EXPERIMENTAL

#### 4.4.1 BOMBARDEO DE MUESTRAS

Las muestras para ser bombardeadas se colocaron en el portamuestas junto con un substrato grueso de cobre, sujetadas por medio de tornillos y clips de acero.

Para tener una idea del estado original de las muestras, se procedió a realizar un análisis preliminar con PIXE, por lo que fueron bombardeadas junto con el patrón a diferentes energlas, 700, 600, 500 y 400 KeV. El tiempo de bombardeo fue regulado por la acumulación de carga en el blanco, que varió en un intervalo de 10 a 70µ C. Esta carga acumulada fue determinada por el número de

cuentas producidas por la muestra, el cual disminuye considerablemente al disminuir la energia de los proyectiles y por consiguiente aumentando el tiempo de conteo para producir una estadística apropiada. Los espectros producidos fueron grabados en discos magneticos para su análisis posterior.

Terminado el bombardeo con protones, se realizo el cierre de compuertas de forma tal que la cámara de dispersión queda afsiada de la linea y de la bomba turbomolecular TPU270, quedando la evacuación a cargo de la turbomolecular TPU110. Una vez que la presión se estabilizo aproximadamente en  $p\cong 10^{-4}$  Torr, se inició la irradiación de las muestras con argón.

.Con el protocolo para hacer funcionar el cañón, que ya fue explicado anteriormente, se bombardearon las muestras con argón industrial. Los parametros que se utilizaron fueron los siguientes:

Para las muestras mi y m2:

Presión inicial = 1.5x10<sup>-4</sup> Torr
Presión final = 5.2x10<sup>-4</sup> Torr
Energía de proyectil = 4600 eV
Potencial de Enfoque = 4000 V
Potencial del Deflector = 400 V
Corriente del haz = 60 µA
T1 = 90s
T2 = 180s

T = 180s

Piámetro del haz de argon = 1.2 cm

Para las muestras m3, m4 y m5:

Presion inicial = 2.1x10<sup>-4</sup> Torr Presion final = 5.8x10<sup>-4</sup> Torr Energia de proyectil = 5000 eV Potencial de Enfoque = 5000 V Potencial del Deflector = 0 V Corriente del haz = 24 µA

 $T_{4} = 180s$  $T_{4} = 55s$  Y Tiampo de Ivradiación.

Ts = no irradiada.

Diámetro del haz de argon =1.2 cm

Una voz que todas las muestras fueron bombardeadas, se abriction las valvulas y se encienden las bombas para recuperar el vacto de 3 10<sup>-2</sup> Torr e iniciar el bombardeo con protones para analizar las muestras ya irradiadas.

El bombardeo se realiza en la misma forma, solo que esta vez ya no se bombardea el substrato. Los espectros obtenidos, también — fueron grabados en discos magneticos.

## 4.4.2 ANALISIS DE CRATIGAS

Los espectros de rayos-X obtenidos se grafican en papel semilog, tomando solamente el intervalo de interes, que en este uaso son los picos K $\sigma$  y Kho del cobre. Para nuestros cálculos posteriores el número de cuentas del pico referente emisiones  $K_{lpha}$  es et que nos interesa por lo que para recuperar la forma de éste, que se ve alterada por la superposición del pico Ke, se utilizaron métodos gráficos. Los cuales consisten en ajustar curvas Caussianas a ambos picos aprovechando las regiones de no interferencia, y restando tanto las aportaciones del ruido aquellas de debidas al traslane picos advacentes. -Afortunadamente en los espectros obtenidos los picos de las lineas:  $K_{\infty}$  y  $K_{0}$  del cobre aparecieron muy claros y con poco ruido lo que l'acilitó el ajuste y el conteo.

# CAPITULO QUINTO RESULTADOS Y CONCLUSIONES

#### **5.1 ANALISIS DE RESULTADOS**

#### 5.1.1 DESARROLLO TEORICO

La técnica PIXE, por ser una técnica de análisis multielemental que puede ser utilizada para obtener perfiles de concentración, es capaz de dar información sobre el espesor de una película de material conocido. Se han realizado un sinnúmero de intentos por utilizar esta técnica en la medición de espesores de películas delgadas [26,32,33], pero, el método debido a Musket y Bauer [45] presenta ventajas, ya que con él no es necesario conocer la eficiencia del detector ni el ángulo sólido que este presenta para la colección de rayos-X.

Ellos utilizan el cociente C del número de gayos-X producidos por la superficie que se desea medir  $N_{\rm g}$ , con el número de los emitidos por un patron grueso sin substrato del mismo elemento que la película  $N_{\rm g}^{\rm p}$ , es decir:

$$C = \frac{N_2}{N_2}.$$
 (C.12)

o escrito de una manera completa utilizando la ecuación (3.9):

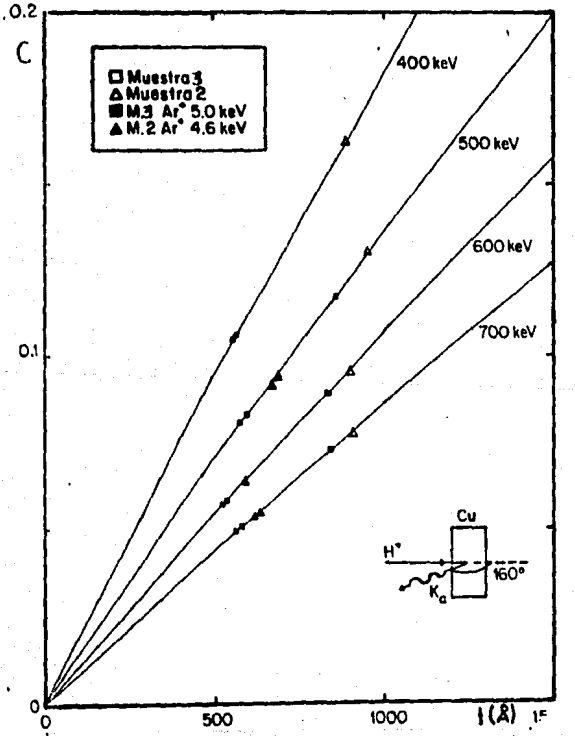
$$C = \begin{cases} c_{x}(E(x)) & n(x) = e^{-\mu \cos \alpha x} dx \\ c_{x}(E(x)) & n(x) = e^{-\mu \csc \alpha x} dx \end{cases}$$

$$C = \begin{cases} c_{x}(E(x)) & n(x) = e^{-\mu \csc \alpha x} dx \\ c_{x}(E(x)) & n(x) = e^{-\mu \csc \alpha x} dx \end{cases}$$

1

En donde t es el espesor de la película y Zinda es la máxima la cual las particulas incidentes tienen suficiente parra productr ionizaciones. Como puede observarse. cociente C es una función del espesor t. v que, por cálculos numéricos se puede obtener un conjunto de curvas relacionan la razón C con el espesor de la muestra.

Experimentalmente se puede conocer ı ÷ i cociente de producción de rayos-X y por medio de la gráfica, el espesor t muestra. obtenidas peliculas Las curvas para bombardeadas a diferentes energias, con un haz de protones de 20°. incidencia colectando los fotones £3 normal ٧ observarse en la figura 5.1, y el programa de computadora que se utilizó para efectuar los cálculos aparece en el apendice 3.



para Δt. vs CUTVOS obtenido do ďο Conjunto protones con haz de bembardeado con un do 400,500,000,700 KeV.

Los parámetros utilizados para los cálculos numéricos fueron, la sección eficaz de ionización obtenida con la teoria ECPSSR L461, el poder de frenamiento de las tablas de Janni [43], aunque éste último pudo haber sido calculado con la fórmula semiempirica MCV (Montenegro/Cruz/Vargas) [16,17], y el coeficiente de absorción  $\mu$  el cual se obtuvo de las tablas de Burr t441.

Como puede verse en este conjunto de lineas, todas presentan una región semi-lineal para espesores menores a 1000 Å, lo cual concuerda con lo obtenido en experimentos anteriores reportados por Musket y Bauer [32], y Christensen y colaboradores [33].

### 5.1.2 CUANTIFICACION DEL RENDIMIENTO DE EROSION CON PIXE

El número de partículas expuisadas de la superficie está relacionado directamente con el cambio en el espesor del material bombardeado.Por lo anterior, se puede obtener una fórmula sencilla que exprese el rendimiento de erosión como una función del cambio en el espesor de la película.

Supongamos que se tiene un haz de particulas uniforme con una corriente I, formado por iones con carga unitaria +e. Entonces, el número de particulas que golpean a la superficie del blanco durante un intervalo de tiempo T está dado por:

$$N_i = \frac{1 \text{ T}}{-} \tag{5.3}$$

Estas partículas al incidir en el blanco producen la expulsión de átomos del material, haciendo que este cambie su espesor en una cantidad  $\Delta t$ .

Supongamos que el volumen desalojado del material esta formado por el cilindro que tiene por diámetro d, el mismo que el haz de iones y por espesor, la profundidad erosionada en la superficie Δt. Entonces, el número de atomos expulsados se puede expresar como:

$$N = V \frac{NA}{\rho} = \Pi \frac{d^2}{d} \Delta U \frac{NA}{\rho}, \tag{5.4}$$

siendo N $_{\Lambda}$  el número de Avogadro y ho la densidad atómica.

Entonces, utilizando la definición de rendimiento de erosión se obtiene que:

$$Y = \frac{N_6}{N_1} = \frac{n \text{ NA e d}^2 \Delta t}{40.4 \text{ T}}$$
 (5.5)

El rendimiento de erosión puede ser conocido fácilmente a partir de esta relación. En ella se muestra que existe una proporcionalidad entre la variación en el espesor de la película, el cual se puede medir con PIXE, y el rendimiento de erosión, con una constante que depende del elemento del cual esta formado el blanco y de las características del haz de iones.

#### 5.2 ANALISIS DE RESULTADOS

#### 5.2.1 PREDICCIONES TEORICAS PARA EL EXPERIMENTO

Utilizando los dos modelos teóricos y el simulador TRIM descritos en el primer capítulo, se obtuvo una predicción del rendimiento de erosión para cobre bombardeado con argón con energías de 4.6 y 5 KeV. Los modelos utilizados fueron el de Thompsom, el de Sigmund, y la simulación por computadora. Los—datos calculados son los que aparecen en la tabla 5.1.

tabla 5.1 Prodicciones teóricas para el rendimiento de erosión producido por argón en cobre.

Modelo\Energia	4.6 KeV	5.0 KeV	
FORO IM	5.039	5.52	
Thompsom	4.7	4.7	
Sigmund Aproximación			
de impulso	4.7	4.9	
Tablas de Micreack-Zieglor	4.52	4.53	

En el modelo de Sigmund fueron utilizados los valores del

#### 5.2.2 DATOS EXPERIMENTALES REPORTADOS EN LA LITERATURA

Los resultados experimentales reportados en la literatura, fueron obtenidos en su mayoría, midiendo la pérdida de peso del cátodo en una cámara de descarga. Los resultados para la combinación cobre-argón, bombardeado a baja energía que fueron consultados aparecen en la tabla 5.2, en donde aparecen los resultados de Yonts et al. [20] Southern et al [21] y Rol et al. [22].

labla 5.2 Resultados experimentales publicados sobre el rondimiento de erceión producido por argón en cobre.

Equipo\Energia	4.6 KeV	5.0 KeV	
Yonts of al. (1, 20)	6.0	6.2	
Southern et at.	5.2 6.4	5.4* 6.6	
Rot et at. (4. 22)	5.0	5.6	

<sup>\*</sup>Dales obtenidos en dos muestras de cobre diferentes.

Estos resultados guardan una muy buena concordancia con los obtenidos teóricamene.

#### 5.2.3 RENDIMENTOS DE EROSION OBTENIDOS EN EL EXPERIMENTO

Después de analizar todos y cada uno de los espectros, los espesores obtenidos aparecen en la tabla 5.3, en donde las muestras son denotadas por su número, con un subindice que indica si ya habian sido irradiadas con argón o no. Una mayor información sobre estos datos puede ser encontrada en el apéndice 3.

Como puede observarse, los espesores medidos coinciden dentro

de su intervalo de validez, con la estimación del espesor hecha con el perfilómetro Dek-tak, con el qual se obtuvo un espesor aproximado de 950  $\hat{A}$ .

A partir de estos espesores, los rendimientos de erosión que se obtuvieron, calculados a partir del cambio de espesor en las muestras fueron  $4.14\pm0.83$  y  $5.3\pm1.1$ , para energías de bombardeo de 4.6 KeV y 5.0 KeV respectivamente. Estos resultados aparecen en la tabla 5.3.

labla 5.3 rondimientos de erosión calculados a partir de la Variación on espesor.

Muestra	1	2.	3	4	5
Energia(KeV)	4.6	4.6	5	5	5
Espesor (A)	810±05	918±22	845±8	808±15	813±28
At(A)	67±42	292±57	281±32	40±	
Y(at/lon)		4.14±.83	5.34±1.1		

<sup>\*</sup> Espasor modido antes de erosionar con argún

La incortidumbro está asociada a la dispersión de los puntos experimentales.

Es importante aciarar en esta sección, que los rendimientos de erosión corresponden solamente a los obtenido de las muestras 2 y 3. Con las demás se tuvieron problemas que invalidaron los resultados finales.

En el caso de la muestra 4 la irradiación fue incompleta y con una corriente inestable, imposible de determinar, lo que impidió medir con certeza el rendimiento de erosión producido. Pero este contratiempo se pudo aprovechar. Como la muestra 4 fue irradiada por un lapso de tiempo muy breve, aproximadamente 55 segundos era sensato suponer que el daño en la muestra había sido mínimo y que la capa removida por la erosión muy delgada. Esto sugirió que podía ser utilizado como una prueba para medir la capacidad de resolución que proporciona PIXE. Así, fue posible detectar un cambio en el espesor de 40 Å.

#### 5.3 DISCUSION

Como puede verse, los resultados obtenidos concuerdan con los de otros investigadores publicados en la literatura, y con los obtenidos teóricamente. Todo esto dentro de los intervalos de incertidumbre, los cuales fueron asociados a la dispersión de los datos experimentales (tabla 5.4). Esto comprueba, al menos en parte, la capacidad de PIXE para medir espesores, y no solo eso, sino que es capaz de detectar cambios en el espesor del orden de decenas de angstroms.

tabla 5.4 rendimientos de erosión en cobre por argón

	4.6 KeV	5.0 KeV
O IRO M	5.039	5.52
Thompsom	4.7	4.7
Signund	5.4 4.52	5.4 4.53
Yonts of al.	6.0	6.2
Southern et al.	5.2 6.4	5.4 6.6
Rol ol al.	3.0	5.6
Evaluados con PIXE	4.14 ± 0.83	5.34 ± 1.1

Observando la naturaleza del experimento, suponemos que es posible obtener aun una mejor resolución haciendo algunos ligeros cambios en el experimento, aumentando el ángulo de incidencia con la finalidad de aumentar el espesor efectivo atravesado por el haz de protones, y disminuyendo la energía del haz de protones.

El hecho de que la resolución mejore al disminuir la energía del haz de protones, esta relacionado con la variación grande que tiene la sección eficaz de producción de rayos-X y el aumento del poder de frenamiento a bajas energías. Su influencia se refleja en la grafica que relaciona el cociente de la producción de fotones con el espesor, en la cual se observa que para menores energías la pendiente es mayor, con lo cual mejora la resolución obtenible. Sin embargo el costo a pagar por éste aumento en la resolución es

un tiempo considerablemente mayor de conteo y un aumento en la dispersión en los espectros. Esto se observo cuando se bombardearon las muestras, para las que hubo que cambiar la colección de carga de  $10\mu\mathrm{C}$  a  $70\mu\mathrm{C}$  cuando se redujo la energia de 700 a  $400~\mathrm{KeV}$ .

Después de haber sido corroborada la capacidad de PIXE para medir espesores, es posible afirmar que PIXE puede proporcionar información sobre perfiles de concentración en profundidad de una manera conflable y con buena resolución.

Una de las ventajas con las que se contó en este experimento fue la posibilidad de realizar la erosion y el análisis sin necesidad de exponer la muestra al medio ambiente y con minutos de diferencia, lo que da una seguridad de que los cambios detectados fueron causados solamente por el bombardeo de iones de argón.

En cuanto al cañón de lones, promete ser una herramienta muy útil para futuros experimentos.

Puede ser utilizado en la preparación de muestras, limpiando o produciendo un decapado regulado de la superficie. Esto ultimo permite realizar estudios en una muestra a mayor profundidad que los que se podrian realizar utilizando unicamente la técnica PIXE. La desventaja de la combinación de ambos métodos es que se torna en una técnica destructiva, perdiéndose una de las ventajas que proporciona PIXE cuando es utilizado independientemente.

Existe también la posibilidad de utilizar el cañón con otros tipos de gases, teniendo como problemas el desgaste prematuro de las paredes de la cámara de ionización del cañon, la cual es dañada por la erosión iónica causada por la incidencia de los iones del plasma. También, los depósitos de material conductor, ya sea del gas o del desprendido de las paredes de la cámara de ionización, en las cerámicas aislantes. Estos contratiempos tienen una fácil solución, dando el mantenimiento apropiado al cañón. Iimpiando o reponiendo las partes dañadas, las cuales pueden ser construidas dentro del mismo Instituto.

Un punto que también es importante mencionar, es que se han encontrado residuos de argón en la cámara de dispersión meses después de que el cañón fue utilizado. Lo anterior debe ser tomado en cuenta cuando al realizar algún experimento exista la posibilidad de contaminación por argón.

## ESTA TESIS NO DEBE SALIR DE LA BIBLIOTECA

Por último menciono que actualmente se trabaja en la realización de un nuevo experimento que complemente los resultados aquí obtenidos, cuyos resultados serán en breve publicados.

#### Apendice 1

#### Modelos Teóricos de Thompson y Sigmund

#### Modelo de Thompson

Thompson utiliza el modelo de colisión en cascada. Considera que la expulsión es generada por una colisión en cascada causada por el ión incidente. Supone que la energía en la cascada es transferida por medio de colisiones binarias y que el camino libre medio de las partículas es independiente de la energía, lo que lo conduce a un espectro de energías de la forma  $E^{-2}$  que es una buena aproximación para energías entre 10 eV y  $10^8$  eV .

inicia suponiendo que el número de iones primarios formados a la energía  $E_Z = q(E_Z)dE_Z$ , transfieren energía E' a los iones secundarios con una eficiencia  $\nu(E_Z,E')$ .

Entonces el número total de iones frenados a la enfigia E' porun retroceso de Ez es:

$$\int_{\infty}^{\infty} d(Ez) \ \nu(Ez,E') \ dEz. \tag{A.1}$$

La velocidad del atomo secundario puede ser expresada en función del la posición como:

$$dt = \frac{dE'}{e'(dE'/dE)}$$
 (A.2)

La densidad de átomos que tienen energias entre E' y E'+dE'en un ángulo sólido a lo largo de una dirección r esta expresado por:

$$\rho(\mathbf{E}', \mathbf{r}) d\mathbf{E}' d\Omega' = \begin{cases} q(\mathbf{E}_2) & \nu(\mathbf{E}_2, \mathbf{E}') & d\mathbf{E}_2 & d\Omega' \\ 4\pi & dt \end{cases}$$
 (A.3)

El flujo de iones que cruzan la superficie formando un ángulo  $\theta$  con la normal es;  $\Phi'(E',r')dE'd\Omega'=V'\pi(E',r')\cos\theta d\Omega'dE'$ que expresado usando la ecuación A.3 se obtiene:

$$\frac{\text{FCE'}, \neq \text{DdEd}\Omega}{\text{dE'}/\text{dx}} = \begin{cases}
\frac{\text{qCE}_2)\nu(\text{Ez}, \text{E'})}{\text{dE'}/\text{dx}} & \frac{\cos\theta}{4\text{fl}} & \text{dE'}
\end{cases}$$
(A.4)

Aproximando  $\nu(Ez,E')\sim\eta$  Ez/E' y que la perdida de energía dE'/dx  $\sim$  E'/D donde D es el espacio interatómico y además que los átomos al ser expulsados de la superficie son refractados, esto es, desviados en su trayectoria al satir de la superficie, debido a la energía de ligadura de la superficie, esto es, la componenete de la velocidad paralela a la superficie no se altera, mientras que la energía en la dirección normal a la superficie disminuye en la energía de ligadura. En los cálculos se consideró a la energía de ligadura Eo, como no direccional.

Llega a que el flujo de particulas expulsadas es:

$$\Phi'(E',r')dE'd\Omega' = \frac{\eta D \cos \phi}{4\pi (1+Eb/E)^3} \frac{1}{E^2} \int_{E}^{\infty} E_2 q(E_2) dE_2 d\Omega dE$$
 (A.5)

Para obtener la función qCE2) Thompson propone un potencial que cambia inversamente al cuadrado de la distancia;

$$V(r)=\frac{2ER}{e}$$
  $(Z_1Z_2)^{5/6}$   $\left(\begin{array}{c} a_0 \\ r \end{array}\right)$  (A.6)

con ao, radio de Bohr y Ex, energía de Rydberg, dando como resultado:

$$q(E_2) = \begin{cases} 0 & \text{si } E_2 > \frac{4 \text{ Mi } M_2 \text{ Ei}}{(M_1 + M_2)} \\ \frac{\pi^2 \text{ ao}^2 \text{N } \text{ Er}(Z_1 Z_2)^{5/6}}{2 \text{eE}_1 \text{E}} \left( \frac{M_1}{M_2} \right)^{1/2} \text{ si } E_2 < \frac{4 \text{ Mi } M_2 \text{ Ei}}{(M_1 + M_2)} \end{cases}$$

Y un rendimiento de erosión dado por:

$$Y = \frac{\Phi(\Theta, \phi) \cdot \Omega \Omega dE}{\Phi(\Omega) \cap \Omega} = \frac{\pi^2 \operatorname{ao}^2 N^{3/3}}{\operatorname{Be}} = \frac{\operatorname{Eit} \operatorname{Mi} \cdot (Z_1 Z_2)^{3/3}}{\operatorname{En} \cdot (M_1 + M_2)} = \frac{\operatorname{ecc} \theta}{\operatorname{ecc} \theta} = (A.7)$$

Esta refacion esta limitada, debido a las aproximaciones hechas  $\alpha$  un intervalo de congras que va de 10 a  $10^3 {\rm eV}$ , para — ángulos menores a  $60^{\circ}$  y para Mz./Mi.

#### Modelo de Sigmund

Sigmund considera la transferencia de energia de un ión primario a los átomos de un solido isotrópico por medio de una colisión en cascada. Busca una forma de expresar Y con una dependencia en la sección eficaz de frenemiento  $S_{\rm R}(E)$ , la eficiencia en la transferencia de energia  $\alpha({\rm Mz/Mi})$  y la energia de ligadura de la superficie Uo y  $\lambda$  una constante calculable.

(A.8)

Utilizando la ecuación de transporte de Boltzmann y el poder de frenamiento.

$$-\frac{1}{V} = \frac{\delta}{\delta t} = \frac{\delta}{F(E,E_0,t)} = -N = \int dotF(E,E_0,t) - F(E-T,E_0,t) - F(T,E_0,t) + NS_{\bullet}(E)^{\delta} \cdot F(E,E_0,t)$$

$$= -\frac{1}{\delta t} - \frac{\delta}{\delta t} = -\frac{1}{\delta t} - \frac{\delta}{\delta t} - \frac{1}{\delta t} - \frac{\delta}{\delta t} - \frac{1}{\delta t}$$

$$\frac{dE}{dx}\bigg|_{D} = -NSn(E) \qquad y \qquad Sn(e) = \int_{0}^{T - max} T \ d\sigma \qquad (A.40)$$

Para eliminar la dependencia temporal utilizó Sigmund el siguiente cambio de variable:

Sigmund resolvió la ecuación resultante usando polinomios de Legendre y la aproximación al potencial del modelo atómico de Thomas-Formi, que le permitió obtener una expresión para la sección eficaz de transferencia de enfigia y así llegar a proponer:

(A.12)

Ponde N.Go y Uo son determinadas para cada blanco, las características del proyectil entra enla función F(E) que esta — dada por:

$$F(E) = \alpha(N_2/M_1) \left(\frac{dE}{dx}\right)_b = \alpha(M_2/M_1) \text{ N Sn}(E)$$
 (A.13)

Donde a es la función de transferencia de energía.

La concordancia con los resultados experimentales es excelente para  $Mz \le Mt$ . Pero la teoría sobre-estima  $\alpha$  para blancos pesados.

El modelo de Sigmund predice además la dependencia angular de Y, ya que a mayores ángulos con respecto a la normal la cascada de colisiones es más superficial y hay mayor probabilidad de que los átomos sean expulsados. Existe un ángulo máximo a partir del cual Y disminuye, que es cuando la transferencia de energia es muy pequeña. Si  $M_2 \gg M_1$  ia dependencia es  $\sim$  sec  $\theta$ . Pero si  $M_2 \sim M_1$  esta dependencia es sec $\frac{5 \times 9}{6}$ .

#### Apéndice 2

#### Defectos Opticos Asociados a la Conducción de tones

Algunos de los factores que limitan las características realos del haz, asociados a los elementos ópticos de conducción son:

#### 2.5.1 ABERRACION ESFERICA

Este defecto es causado por la no uniformidad del campo eléctrico, ya que cerca de los electrodos es sensiblemente mayor, lo que ocaciona que algunas partículas sean enfocadas en un punto más cercano a la lente que la posición del foco para rayos paraxiales.

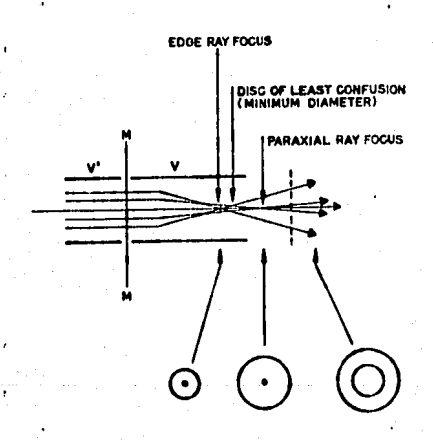


figura 2.14 diagrama de la aberración esférica

La aberración esférica es un factor critico en la conducción del haz ya que una vez originada no se puede corregir por medios ópticos posteriores por lo que es impresindible limitaria al máximo.

Para evaluar la aberración esférica se utiliza el disco de menor confusión, es decir el diámetro transversal menor del haz después de haber pasado por el elemento óptico, que en este caso está dado por ós=(1/4)Ceot<sup>3</sup>, donde Ca es la constante de aberración esférica.

#### 2.5.2 ABERRACION CROMATICA (DISPERSION DE MOMENTO)

Este efecto es referido a que tan sensible son las propiedades focales del instrumento a los diferentes valores de momentos de las partículas del haz, es decir, es un efecto que no esta relacionado únicamente con las características de la lente, sino también con las distribuciones de masa y energía del haz de lones.

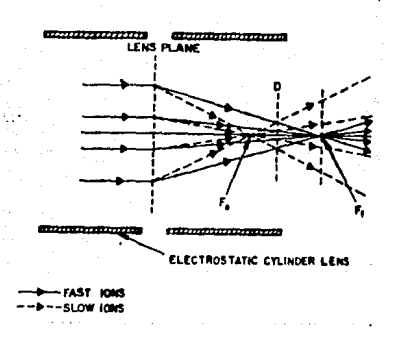


figura 2.15 diagrama de aborración cromática

Rizos y corrientes de fuga en la fuente de alimentación de voltaje, que pueden propiciar este tipo de aberración, pero pueden ser corregidos aprovechando que normalmente las lentes funcionan utilizando la razón entre voltajes de sus elementos deflectores, la cual será constante si la misma fuente alimenta a todas las superficies de la lente.

Para este caso el disco de mínima confusión está dado por  $\delta_s = C_{coll} \frac{\Delta V}{\Delta V}$ , donde  $\Delta V$  es la dispersión de enegía,Vo de los iones y  $C_s$  la constante de aberración esférica.

#### 2.5.3 ASTIGMATISMO ELIPTICO

Este tipo de aberración surge como resultado de que las aberturas de los lentes no sean circulares o que estén fuera del eje óptico del haz, ocacionando que la sección transversa del haz sea deformada a una elipse. Razón por la que es llamado

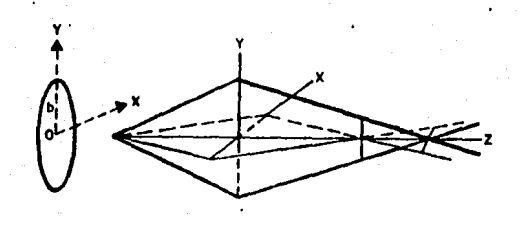


figura 2.16 diagrama de astigmatismo olíptico

Este error puede ser identificado observando la mancha del haz que en lugar de ser circular es elíptica y normalmente es debido a errores mecánicos en la construcción de la lente.

Su disco de mínima confusión esta dado por δo≈Goot donde el coeficiente Co es la constante de aberración debida al astigmatismo.

Esta forma de aberración puede ser corregida con el uso de un stigmator, que en su forma más simple, es un elemento n-polar de campos eléctricos arregiados alrededor del haz del cual se habló en la sección anterior.

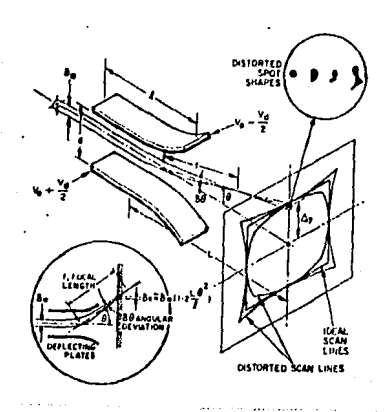
#### 2.5.4 DIFRACCION

Es el ensanchamiento del haz al pasar por una abertura pequeña. Este efecto es importante solamente en equipos de alta resolución por lo que normalmente es despresiado aunque no debe descartarse totalmente su presencia.

## 2.5.5 DISTORMON POR DEFLEXION -

En un haz de iones que pasa por un par de platos deflectores, debido a las diferentes velocidades de sus partículas, velocidades que dependen de su posición transversal con respecto al haz, unea que los iones sean desviados a diferentes ángulos de enfoque, actuando como una tente convergente de distancia focal f.

Este error es corregible haciendo la distancia entre el plato deflector y la lente anterior igual al foco, obteniendose un haz — con un diametro muy pequeño en ese punto.



itgura 2.17 diagrama de la distorción por deflexión

Otro defecto asociado a la deflexión es la distor**f**ión de la linea de barrido, de una recta a una curva. Esta distor**fión** es proporcional al angulo de entrada del ion del primer juego de platos deflectores al segundo.

Cuando este efecto es severo reduce la pre**sigion en la** localización de la mancha del haz en el blanco utilizando los potenciales de los platos deflectores.

Si los platos deflectores están muy juntos, entonces aparecen efectos de astigmatismo que distor**s**ionan la mancha del - > haz.

#### 2.5.6 ABERRACION TOTAL

Poe último, la aberración total causada por todas las anteriores, debido a que son efectos estadisticamente independientes unos de otros, es el valor cuadrático medio de su suma, es decir:

00000000000000 [002+002+002]1/2

```
ن بيدا سام العام
      Programa para Calcular los cocientes C de sayou X
DECLARE SUB musica ()
FIRE FULL LINE ADDRESS TO SELECT THE SELECTION OF SELECTI
HANTER FUNCTION ACCESS/11 &
  ያመናን Pi = 3.1413926#4 ነፃ፤ = 1.2.2 ነ 2.2 ቀ 1. ቀን = 3.291776-39. ዘለት = HT * 1922,867. ታ = 313.636
 DIN SHAKES 120, wie, word as mes 119 alk, vik. twetek, dal. cei
  TIM SHARELY $2900 S1910 11920 E1920 2194
0% FROM GOTO same poer non
  IMPUT (Elemento de la Periodia") perà
1 "INT chimero Atomico ca "; pelí:
 f: UT 21
 IF 21 > 32 THEN 1
2 FMFUT "AUnidad de los Archivos de latos": unis
      If = unif + "Patosi, dar"; dat2F = unif + "datos2.dat"
  IYFE datai
   samb 46 915166 # 2
     AS INTEGER: Ze AS INTEGER
   NULAS SIMBLES de AS EINDLES, SE AN EMALO
   KA AS SIMULE: 10 AS SIMULE
       AS SINGLE: ULL AS BINGLE, ULL AS SINGLE: ULD AS SINGLE.
   - Agak AS SINOLE: Unegai AS SINOLE: Koha AS SINOLE
 ELO TYPE
  7098 data2
   * No AS STRIPS * 2: z AS INTEGER
   EO AS SINGLE: E1 AS SINGLE: E2 AS FORGLE
  50 AS SINGLE: PL AS SINGLE: P2 AN STROLE
     lamaŭ AS SINGLE: sigmei AS SINGLE: sigmal AS SINGLE: sigmas AS SINGLE: sigma4 AS SINGLE
  ist type
 DIN datavari AS datai: PlN datavari AS datai
  ውጫክ datis for gamboy AS Ri LEV - LEbicatavari:
  LA ERR = 76 THEH 2
   GET #1, 21 - 2, detevari
  pagimid = dataveri.aimo; sel = date eri.ze
  ol = datavari.co: cel = data ari.da: mai = datavari.ma
      kai = datavari.ka: ipi = datavarl.ip
     gk1 = detavari.uk: uiei = datavari.uli: ule2 = detavari.ul2: ule5 = datavari.ul3
      📆 = dataveri.omegak: wii = datavari.peegal: kokal = datavari.kt/ka
 £356 71
 OPEN dat29 FOR RANDOM AS #1 LEM = LEMIdatevar2)
   1-4 ERR = 76 THEN 2
   编】 刑, z1 - 2, datavar2
 sa0 = datavar1.s6; sa1 = catavar1.s1; sa2 = datavar1.s2
   (%a0 = datavar2.z0: rai = datavar2.s1: rai = datavar2.s2
  malgat = dataver2.signet: sigel = totaver2.signet: sige2 = catever2.signe2
     eiga3 = datavar2.sigma3: siga4 = datavar2.sigma4
  1428 = zi - 3: mis = mai + 1922.387; u2k = uki / 27.2116
  連携 = 前 + gal / (m2 + mai): me = s + 1822,887; sigma0k = 1E+24 + 8 + pi = a0 * 2 + (zh * 2 / z2k * 4)
      v2k = z2k; thetak = 2 * u2k / z2k = 2
  15.
  F.
  DIM # (1 TO 9, 1 TO 15)
   ["POT "(Que Lines va a Utilizar (R/L!"; lins
   (JUCASES(lint) = "K" THEN U = UK) ELSE U = UID3
     u = 6 / 100000
   SPINT "¿Coeficiente Aceurción en "; simia; " (co2/a)";
      201 apa
```

च्चेत्र = हाह है col

MEET "(Browles is Indidencia, Salada (")") andi, Enge

```
Mess = ress + ".lAT"
  d illianest FOR OUTPUT AS #1
  MEINT #1: ginls
    FOR et = ..5 70 .705 STEF .05
  meneix - anaix + 1
       WINT USING "Ei = $.888 Ne.": er
   PRINT $1. USENG "E1 = =.875 MeV': et
      netia 6
  *** = 51
  FOR ks = 0 TO .1 STEF dxs
     IF e <= 0 THEN EXIT FOR
  FIRE UCASES(lins) = "K" THEN sig = ecpssrk(e) EUSE sig = ecpssrl(e)
 IF ALSTE - u) / u <= .05 or sig < 1E-25 THEN EXIT FOR
 nci = mai + zis + EXF(-mus + 22 / CO5(args)) |
  sta = jamni(saV, sal, sai, el
      le = e - dxs 3 sta / CD3(a/gi)
    (E)T xs
    nxs = mil + dxs
   "TOR THE 2.5 TO 40 STEP 2.5.
   _____thkn = thk + .000001: t2 = thk / 2.5
    FRINT USING "t = ##.##5" ' do's thic.
     PRINT #1. USING 't = ##. ### co"; thkm.
  dt = thkn / 100: enei% = 6
   .... e = e1
   __nxf = 0
     FOR . = 0 TO take STEF as
  IF & (= 0 THEN EXIT FOR
  sta = (anni(sa0, sal, sel, a)
  IE UCASE$(linf) = "K" THEN sig = ecpss/kte) ELEE sig = ecpss/i(e)
        IF ABS(e - u) / u (= .05 OR sig ( 1E-25 THEN EXIT FOR
        red = rest + sig + EAP(-x & 1 : / CO5(angs))
  e = e - et f sta / 008(angi)
      NEXT and a
  <sup>n f</sup>nxp = nxf * dt
      r = map / nes
  "TEMINI USING " R = #. #### ' /
  .....PRINT #1. USING " R = #. HEH"; r
   MEXI this
  1-4X1 -1
   L' NASICE
81
Ma linarrori
 PETER CASE ESR
   F 49E 3
     KINI 'La Energie se Ha Vuelfo Negativa."
   - LESUME NEXT
   CASE 11
    "WINT " Cuidado! Se Está Dividiamo Entra Caro.
     ESUNE HEXT
    CASE 25, 27
  -AUCHE 17 1
  - Will "Le labresora Esté Apagada o No Tiana Fapei.
    CASE 52
  MINT "Este Nombre de Archivo No es Valido. Debe Correstrio "
   -AINT Tabe Consegur de livero.
   DO: LOCK UNTIL INCEYS () ""
   60
     72,904,9
    763525
    And the second s
```

EVT "Alkabra del Azolico de Nesultados (Ext. por Ohision (DAT)"; rest

```
10: USE CATE IN EAR ..
   Esono
   1 355 61
    PRINT "El Disco Esta Lleno, Cimpielo y Oprima Cuelquier Tecla."
   MOOT LOOP OHTTL THREYS O ""
   (ESUM_
   CASE 6-
   #RINI Testa Pombra da Arcollo No as Valido. Dada Correstrio.
    Will Tebe Comesian de Luavi.
   1 00: LEGG WHITE HARRY (
    ENI:
   E3UME
  ASE 60
    PRINT 'EL Disco no Esta Licto.
   AMAINT (Introdúzcalo ó Baja la Palanca de la coload."
   (ESUNE
   LASE 76
   PRINT "La Especificación de Directorio No es Correcta.
    RINT "Debe Corregirla Después de Comenzar de Niveyo.
   -30: LOGE WATEL INVEYS OF
    EM
   TEBUTE
    JSE ELSE
    PRINT 'Error No betechable '
   _$AIN7 (Debe Comencer de Kuev).
  1 10: LOGE UNTIL INVERTED
  THE ERROR GUID O
  EHD BELECT
 FUNCTION experts (el)
  (5 = ei * 16000001 / 27.2115
  etak = 2 1 ela / (mia 1 m2k 2)
  724= 137.036 / 505:1 - 1 / (1 f at / (231.430 f mi)) * 21
  く継属2 f V1 / (thetak + Q6)。
  d = zh = 22 / (na 1 v1 ≥ 2)
  ck = 1.5; aik = ck / csik
    ECT CASE aik
  m#3E IS )= 11
   funik = 0
  1 46E 3 TO 11
    Sunik = 2 * EhP(-2 * aik) / aik : 1.6
   CASE LOSE TO 3
  funik = EXF(-2 F aik) / (.991 + .21 * aik ^ .5 + .605 * aik - .669 * aik ^ 1.5 + .324 * aik ^ 2/
    SE 0 76 .635
  網unik = .75 * pi * (LGG(1 / sik / 2) - 1)
  CASE ELSE
  ARRINI "Error en el Calculo : Exp
 ips SELECT
 hk = 2 ! funik / (thetak + cark ^ 3)
 qq= (1 + 9 + csik + 31 + csik ^ 2 + 38 + csik ^ 3 + 12 + csik ^ 4 + 25 + csik ^ 5 + 4,2 + csik ^ 6 + .515 * csik \ 7) / ((1 + csix - 6
 ##tak = 1 + (2 * zh / (zik * thetak) * (gk - hk/
# 1 - 4 * (dzetak / dsik) * 2 / (ka * dzetak * thetak) ( 0 THEM acpashk = 0: GOTO 100
  zelak = 56分(1 - 4 1 idzetak / csik; - 2 / ima f dzelak f thatak)/
   adaltak = 4 * (dzeta). / cask) * 2 / ima * dzetak * thetak)
  ##gel10 = 8 * pg * zm * (ozeca) / csum) ↑ 3 * (z2 / z2k) / (mla * (dzetak * tmetak) ↑ 2 * kzelok ↑ 2 * zetak))
  explo = (ECP(-argail0) / (argail0 + 10)) * (1 + 10 / (argail0 + 10) * 2 + 10 * (10 + 2 * argail0) / (argail0 + 10) * 4 + 10 * (6 * argail0
  1 31 = 9 + ext10
  tzžk / و) ^ 2 / (czik / czataki أو أو ال
  urk = 508(1 + 1.1 + yk " 2) + yk
 · irk = SCR(zrr) * cail
   ofk = dsirk / dzetek
 FURN # ((3 * zstek - 1) * (1 * metek, * 3 * (3 * zetak * 1) * (1 - metek) * 3) / (2 * 3 * (5 * 1))
```

```
Tyrk (* 1855) (* 17247 (* 1859) († 1801) (* 1864) (* 18 - 1820) (* 1934) (* 18 - 1880) (* 1834) (* 1844) (* 1860) (* 1844) (* 1860)
support a school flerre
I END FUNCTION
PUNCTION ecosoni nel
mails = Little
्राह्म । हिन्दी (Sight - Sight + Je + Big) + le े 2 + Sight + le े 3 + Big4 + le े 4)
Eng processor
PLISTION James 180, 81, 82, 61
lenni * EXP(t) + s1 * LOS(e) + s2 * LOS(e) * 21
E FUNCTION
FUR BUSICS
Tagst = 160; (b)c (a a- a f e f epé de s- be d'e f g a b- 976"
  Tape + "ge a or g gr g e er e cpo ic (b )c d c (br a g f'
 Dorsa - Caust & faues
TELAY PAY & VERBIAN ERGER)
E+ :+ 500
 pupil = (EDF1-argail0) / (argail0 + 10)) * (1 + 10 / Jargail0 + 10) > 2 + 10 * (10 - 1 = argail0 / largail0 + 10) > 4 -
   $0.0 (6.6 km serio = 2 - 2 0.10 t ergenio + 100) / tergenio + 100 = 61
 t vid
 178
 14
  .
  18
  1.1
  1
  - 4
```

#### Apéndice 4 Patos Experimentales

Los datos experimentales obtenidos al examinar las muestras, antes y después de ser irradiadas, son los que aparecen en la siguiente tabla. En ella se indica con el subindice a a las muestras no irradiadas, y con i a las ya expuestas a un haz de protones con la energia indicada en la segunda columna. En la ditima columna aparecen los espesores medido con la técnica PIXE.

Muestra	E(KeV)	Nx/<10µG>	C	່ເເລັງ
Pi	700	612511247	<del>-</del>	••
Pı	600	292351171	-	
Pi	500	10588±084		~-
1a	700	4298±49	0.070210.0011	810
1a	500	2537±31	0100.02880.0	805
ła.	500	1203±19	8100.0 <u>1</u> 3611.0	815
1i	700	9781±41	0.0617±0.0009	710
Ji	600	2274±15	0.0778±0.0009	720
21.	000	2291±25	0.0784±0.0012	725
2i	500	1163±16	0.1098±0.0022	790
2i.	500	1147±16	0.109020.0022 0.1083±0.0023	780
		11204 - 40		434.114
2a	700	4786±49	0.0781±0.0011	905 900
2a 2a	600 500	2797±31 1377±19	0,0957±0.0016 0.1301±0.0028	950
		1017217	0.100120.0000	
<b>2</b> i	700	3298±41	0.0538±0.0009	615
<b>2</b> i	700	3352±41	0.0547±0.0009	625
2i .	400	1864 125	0.0638±0.0009	590
<b>2</b> i	600	1860125	0.0636±0.0012	590
<b>2</b> i	500	975±16	0.0921±0.0022	660
<b>2</b> i	500	996±16	0.0941±0.0023	680
$\nu_2$	700	61219±247	<u>.</u> , <u>.</u>	
1'2	600	29094±171	<u></u>	
P2	500	10869±85		
Pz	400	3266±33		
3a	700	4468247	0.0729±0.0011	840
3a	600	2595±29	0.0892±0.0011	930
3a	500	1279±18	0.1177±0.0026	860
	(2424)	9021±99	9,0493±0,0008	575
31	700	3021139	0.0507±0.0008	590
3i.	700	1657±25	0.0570±0.0015	540
9i.	600	1686±24	0.0580±0.0015	540
3i	600 500	880±15	0.0810±0.0020	590
31		902115	0.0830±0.0020	600
3i	500	90ZI15 343±7	0.1050±0.0030	560
3i 3i	400 400	343±1 346±7	0.1050±0.0030	565

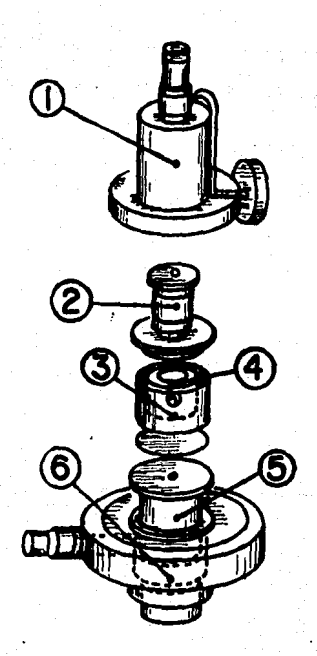
4a	700	4341±47	0.0709±0.0011	825
4a	600	2506±29	0.0861±0.0010	800
la	500	1184±17	0.1089±0.0027	800
li.	700	4381±47	0.0716±0.0011	835
fi	700	4211±46	0.0688±0.0010	800
li	600	2369±28	0.0814±0.0019	750
<b>l</b> i	000	2410±28	0.0828±0.0019	770
<b>š</b> i	500	1158±17	0.1065±0.0024	770
<b>l</b> i	500	1150±17	0.1058±0.0024	760
<b>1</b> i	400	436±8	0.1335±0.0038	715
4i	400	447±8	0.1369±0.0038	730
Ja	700	4392±47	0.0717±0.0011	835
3a .	600	2528±29	0.0869±0.0010	805
Ba.	500	1240±18	0.114110.0025	840
3 c.	400	46948	0.1436±0.0039	770

#### Apendice 5

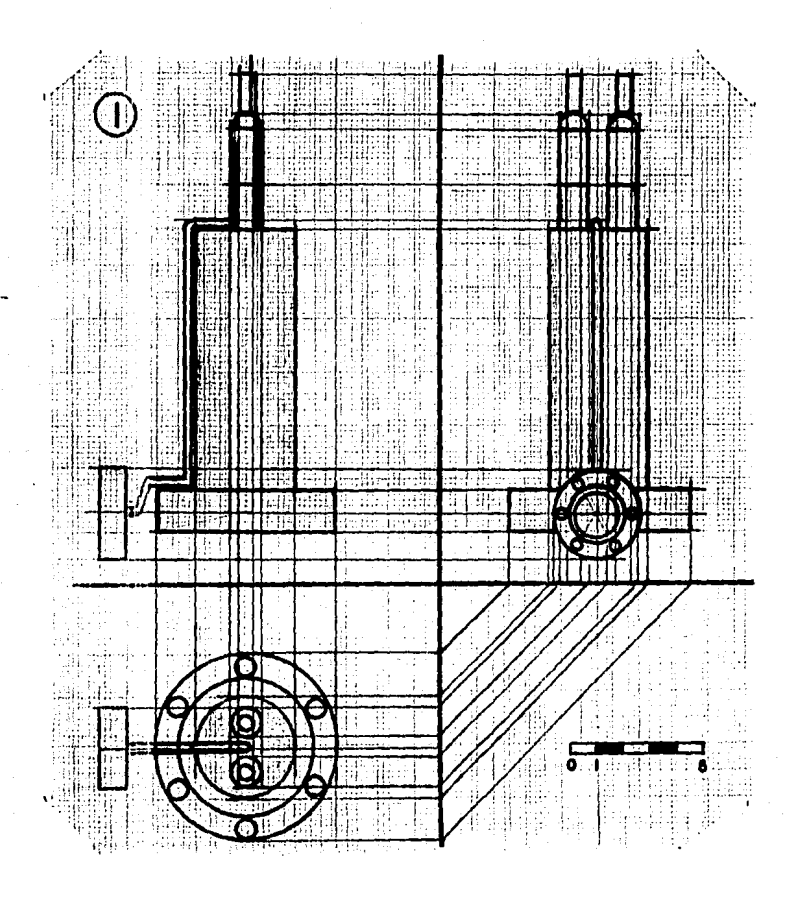
#### Componentes del Cañon de iones

El cañón de iones esta compuesto principalmente por seis partes principales l'abricadas con acero inoxidable y cerámica como aislante.

- D Gubierta principal
- Tapa superior de la cámara de lonización.
- 3) Cátodo
- 4) Anodo
- 5) Primera sección de lente Einzel. —
- 6) Base principal

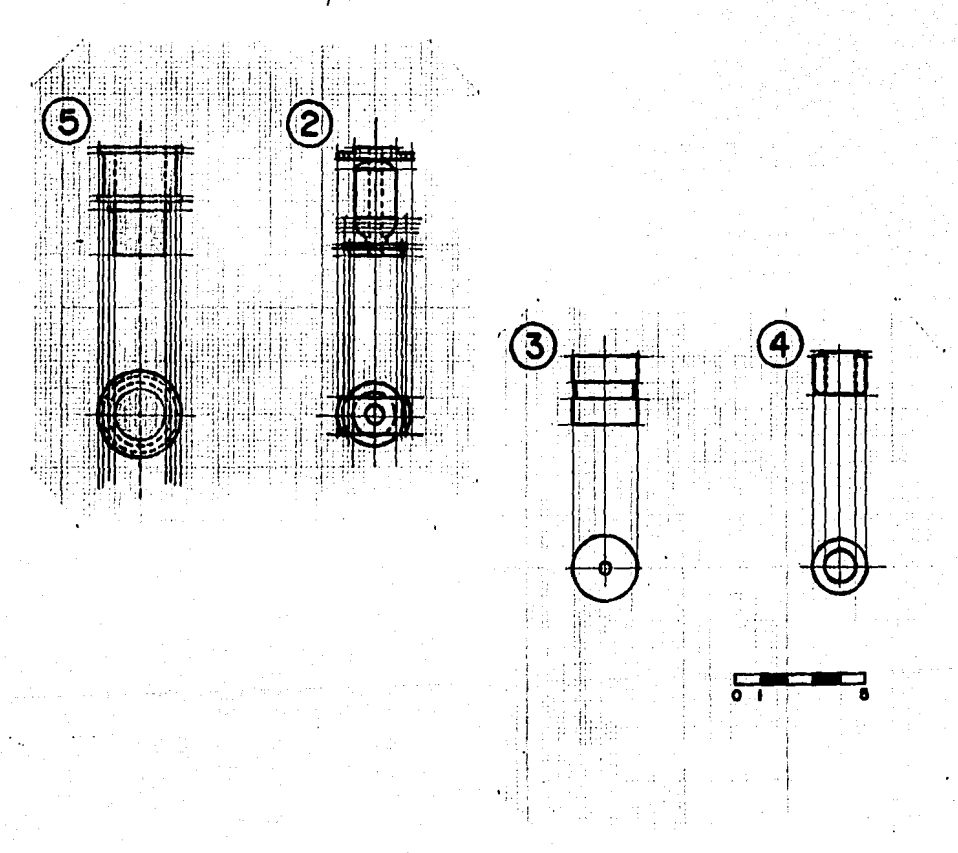


#### D Cubierta Principal



Es la parte exterior del cañón de iones, recubre a la camara de ionización y la aisla del exterior. En su parte laterorsuperior? se focalizan dos electrodos que conectan a la fuente de voltaje con la camara de ionización. Se encuentran aislados del resto del cumpo por modio de cerámicas. El gas se introduce por atraves de un orificio que se encuentra en la tapa superior, en medio de los electrodos. Do este ultimo se desprende un tubo de pequeño calibre que se conecta directamente a la válvula de aguja.

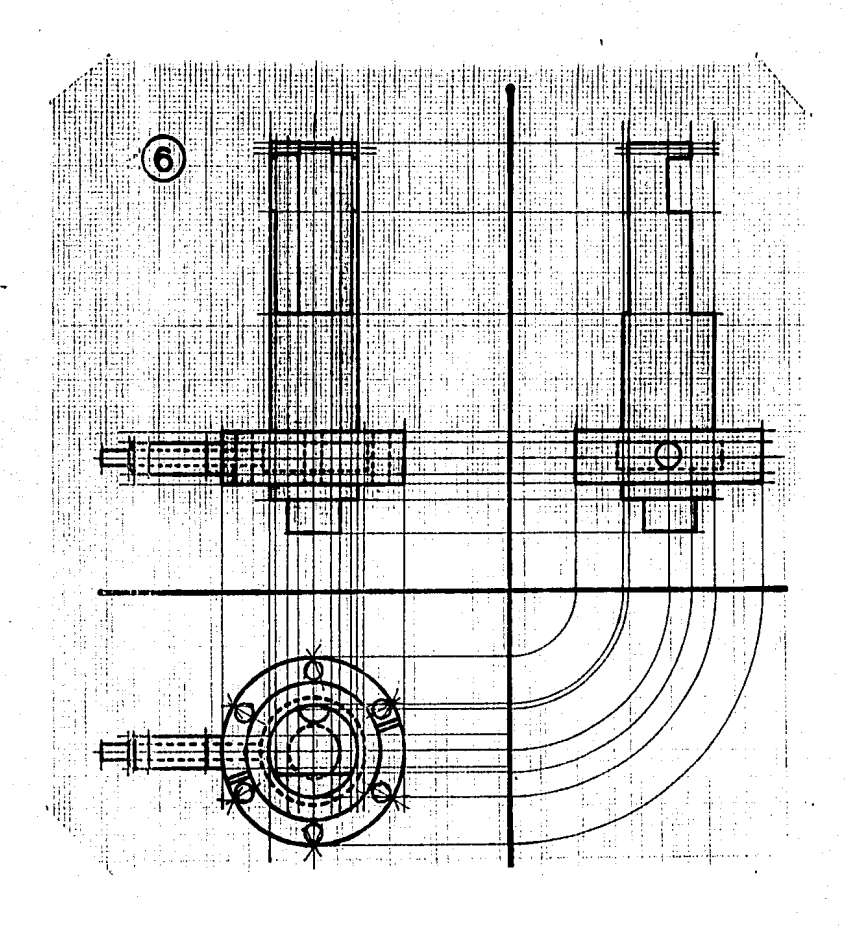
- Z) Tapa superior de la Cámara de ionización
- 32 Cátedo
- d J Amorto
- 9) Unimera secuión de/quente Einzel -



Las partes 2,3 y 4 forman la cámara de ionización. El catodo esta sujeto por medio de tres termillos colocados alrededor del ánodo, aislados de este por medio de cerámicas. La sección 2 tiene además uma extensión por la cual es introducido el gas a la camara de ionización. Su interior se encuentra protegido contra depositos de material conductor por medio de un tubo de cuarzo, el cual puede ser removido fácilmente.

La sección 5 es la primer sección de la iente Einzei, la cual es removible para facilitar la limpieza del cañon. Se encuentra referido a tierra, así como toda la estructura de la cubierta

principal.



La base principal da soporte a las piezas 2,3,4 y 5, ast como también el electrodo intermedio de la lente Einzel, el cual puede tener potenciales hasta de 10KeV.

tener potenciales hasta de locar. Junto con la base principal forman la unión entre el cañon y la camara de dispersión.

-1

#### Referencias

- 1) Grove W. R. (1852). Trans. Rov. Soc. (London) 142, 87.
- Guntaerschulza А and Meyer К. C19315 Zeitst. 74, 279; 69, 607.
- and Moubis J. Penning F. M. 11. Α. C19402 Akad, Wetenschap, Proc. 43,41,
- 4) Weijsenfold CH. and Hougendoorn A. (1962) Proc. fifth lonization Phenomena 111 Cases. Munich (1961). 124. Holland Publishing Co. Amsterdam.
- 5) Fatz H. (1942) Zaitist Phy. 119,590. Z. Phys.
- 6) Seeliger and Sommermeyer K. (1935) Zeitst Physik 93, 692.
- TO Smith II P., Do Michele D. W. and Khan J. M. (1965) J. Appl. Phys. 36, 1993.
- B) Tolonsend Kelly Hartley, "ION IMPLANTATION, SPUTTERING AND THEIR APLICATIONS" Academic Press.
- 90 Henstekke E. B. (1962) J. Appl. Phys. 33, 177%.
- 10) Aimen O. and Bruce G. (1961) Nuclear Instr. and Methods 11.297.
- 11) Molebanov ٧. Α. and Tellkoyskii V. (1962) USSR, Phys. Ser. (1963) 26, 1381.
- 12) Conter and Colligon, "ION BOMBARDMENT OF SOLIDS" 1969.
- 133 Septier, Albert, (1967) "FOCUSING OF CHARGED PARTICLES" Academic Press.
- 14) Deamaley, Freeman, Nelson and Stephen, "ION IMPLANTATION". Nord Holland Publishing Co. 1973.
- 15) Feldman L., Mayor J. W., "FUNDAMENTALS OF SURFACE AND FILM ANALYSIS", North Holland Publishing Co. Amsterdam 1986.
- 16) Vangas, Cruz, and Montenegro, Radiation Effects 1984, 84, 23.
- E.C. Hontonagro, S.A. Cruz ys Abri 17) Montenegro, Cruz and Vargas, Physics letters, 92, 195. 18) Thompson M. W. (1968) Phylosofical Magazine, 18, 371
- Phys. Rov. 19) Sigmund P. (1969) Physical Rev. 184, 383.
- 20) Youts O.C., Normand C. E. and Harrison Don E., (1960). J. Bppl. Phys. Journal of Applied Physics 31,3
- 21) Southern A. L., Willis W. Rand Robinson M. T., (1963), Journal of Applied Physics 34.,1
- 22) Rot P. K., Flutt J. M. and Kistermaker J. (1960), Physica 26, 1000

- 23) Williams J. S. and Poate J. M., "ION IMPLANTATION AND BEAM PROCESSING", Academic Press 1984.
- 24) Javier Miranda M. Tesis de Licenciatura 1984 U.N.A.M.
- 25) Luis Rodriguez F. Tesis de Licenciatura 1988 U.N.A.M. .
- 26) Juan Carlos Cheang W., Tesis de Licenciatura 1988 U.N.A.M. .
- 27) Javier Miranda M., Tesis Doctoral 1988 U.N.A.M. .
- 28) Brian Chapman, "GLOW DISCHARGE PROCESSES. SPUTTERING AND PLASMA ETCHING", W.S. 1980.
- 29) Wilson, Brewer and Krieger, "ION BEAMS WITH APPLICATIONS TO ION IMPLANTATION", W.S. 1973.
- 30) Dearnaley G. Freeman R. S., Nelson R. S. and Stephen J., "ION 10) Dearnaley G. Freeman R. S., Nelson R. S. and Stephen J., "ION Much. Sold Much. Much.
- Physics Research, 27, 21.
- 32) Musket R. G. and Bauer W., (1972) Journal of Applied Physics 43,4786.
- 33) Christensen L. J., Khan J. M. and Braunner W. F.,(1967) The Review of Scientific Instruments 38.1
- 34) Werner H. W. and Carten R. P. (1984) Rep. Prog. Phys. 47, 221
- 35) Knott G. F. "RADIATION DETECTION AND MEASUREMENT", W.S. 7, 1979.
- 36) ORTEG 7000 Series SI(LI) X-Ray Detector Description.
- The model ANTOO Positive ion Accelerator, HIGH VOLTAGE ENGINEERING, Instruction Manual.
- 38) Schuurman W. (1967), Physica 36,136
- 39) Juan Santana Côrte, Tesis de Licenciatura 1990 U.N.A.M.
- Oliver A., Miranda J.Lopez K., Mercado F. y Flores H.(1988) instrumentación y Desarrollo 2, 39
- Pegnier P. and <1985). Brissaud I., Frontier J. P. Nuclear Instruments and Methods in Physics Research.12,235.
- 42) jakšić M., Vajič M. and Pegnier P. (1989), Nuclear Instruments and Methods in Physics Research. 40,643.
- 43) Janni J. F.(1982), At. Data and Nucl. Data Tables 27,147,341.
- 44) Burn A. F. "HANDBOOK OF CHEMISTRY AND PHYSICS" Adademic Press 1975.
- 45) Brandt W. y Lapicki G., C198D, Phys. Rev. A23, 1717.